

DEFORMITA' VERTEBRALI DELL'ETA' EVOLUTIVA





Termine introdotto da Ippocrate: "scolios" (storto o curvo)

LA SCOLIOSI E' UNA

"DEFORMITA' TORSIONALE TRIDIMENSIONALE DEL RACHIDE E DEL TRONCO"

Grivas et al. 2006



"DEFORMITA' TORSIONALE TRIDIMENSIONALE DEL RACHIDE E DEL TRONCO"

• Piano frontale: curvatura laterale

Piano orizzontale: rotazione assiale

 Piano sagittale: alterazioni delle normali curvature (cifosi e lordosi) solitamente verso una schiena piatta











NON

DEL

TUTTO!

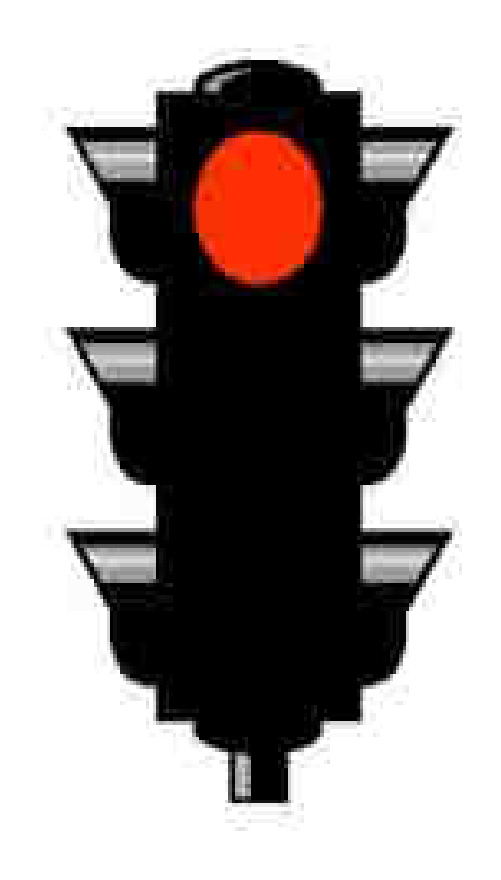








SCOLIOSI STRUTTURALE



SCOLIOSI
FUNZIONALE O
ATTEGGIAMENTO
SCOLIOTICO



SCOLIOSI FUNZIONALE O ATTEGGIAMENTO SCOLIOTICO

È una deviazione laterale della colonna del tutto riducibile in clinostasi: <u>clinicamente</u> <u>senza gibbo, radiologicamente senza</u> <u>rotazione</u>

 <u>Cause extraspinali note</u>: dismetria AAII o asimmetria del tono dei muscoli paraspinali (antalgica)



SCOLIOSI (STRUTTURALE)

È almeno parzialmente irriducibile

Le vertebre ed i dischi sono deformati

La curva laterale si associa ad una rotazione che

si traduce in gibbo o in una salienza

paravertebrale



EPIDEMIOLOGIA

- Prevalenza: 2-3% della popolazione
- Incidenza: F > M (AIS progressiva molto più frequente nel sesso femminile)

```
tra 10^{\circ} e 20^{\circ} \longrightarrow F: M=1,3:1
```

tra
$$20^{\circ} e 30^{\circ} \longrightarrow F: M = 5,4:1$$

$$se > 30^{\circ} \longrightarrow F: M=7:1$$

N.B.: è stato suggerito che l'epidemiologia subisca variazioni in base alla latitudine.



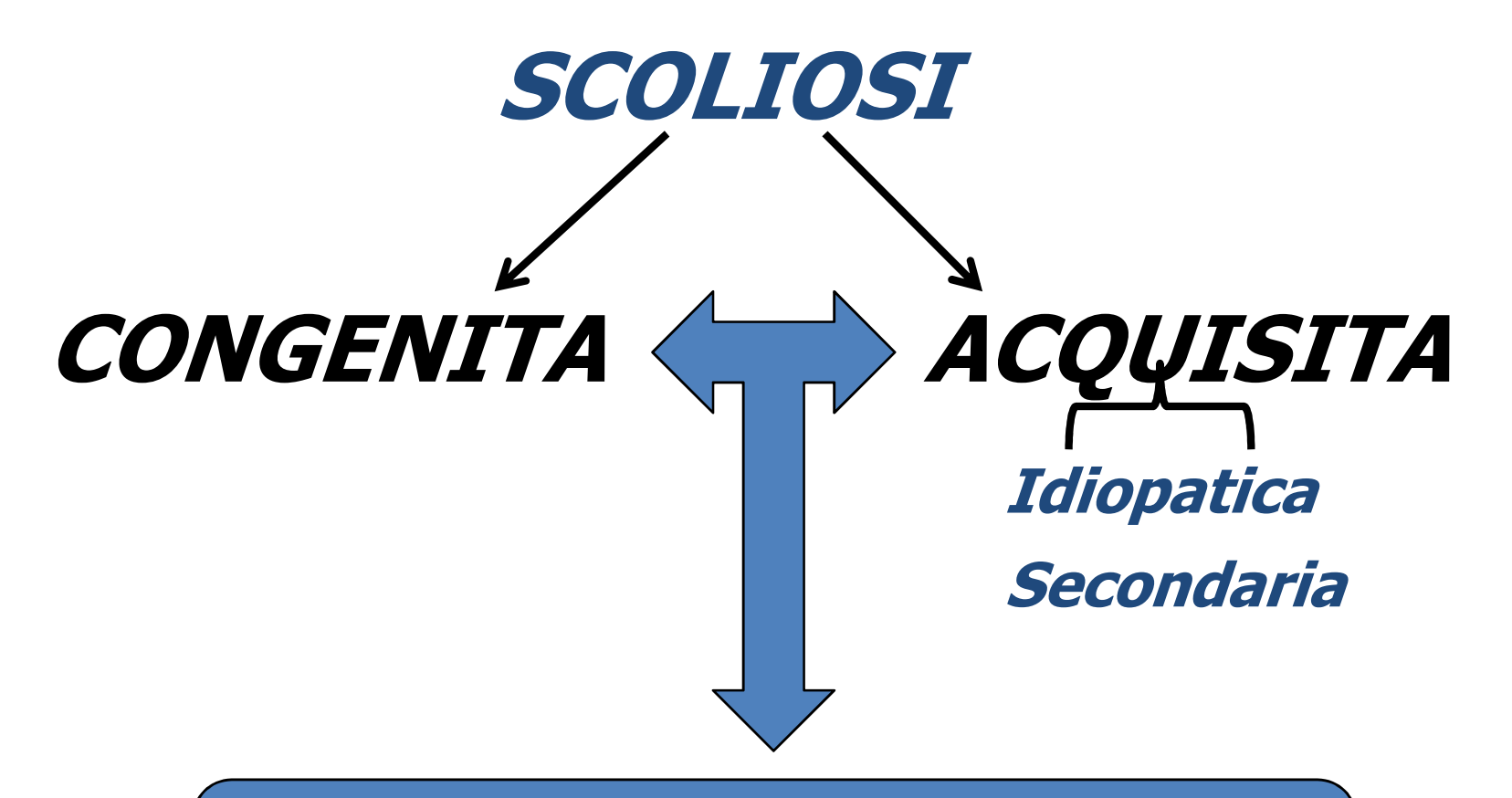
EPIDEMIOLOGIA

• Il 10% circa dei casi diagnosticati richiede un trattamento conservativo

• Lo 0,1-0,3% circa richiede una correzione <u>chirurgica</u>



CLASSIFICAZIONE



20% dei casi: congenita o secondaria

80% dei casi: idiopatica



CLASSIFICAZIONE

CRITERI (Scoliosi Idiopatica)

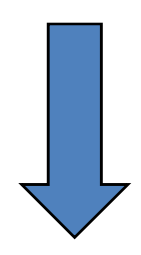
- 1.Cronologico: età alla diagnosi (infantile 0-2, giovanile 3-9 adolescenziale 10-18)
- 2.Angolare: lieve <15, da lieve a moderata 16-24, moderata 25-34, da moderata a grave 35-44, grave 45-59, molto grave ≥ 60
- 3.Topografico: cervicale (disco C6-C7), cervico-dorsale (da C7 a T1), dorsale (da disco T1-T2 al disco T11-T12), dorso-lombare (da T12 ad L1), lombare (dal disco L1-L2..)



- La scoliosi idiopatica può svilupparsi in qualunque momento durante l'infanzia e l'adolescenza
- E' più comune nei periodi di forte crescita:
 - Fra i 6 ed i 24 mesi
 - Fra i 5 e gli 8 anni
 - Fra gli 11 ed i 14 anni



Lo scatto di crescita dello scheletro assiale durante la pubertà



Il periodo di più marcata progressione della scoliosi idiopatica



A circa 2/3 del periodo che vede lo scatto di crescita puberale



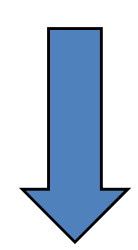
Le ragazze presentano il MENARCA



Indica una riduzione lenta e graduale del rischio di progressione della scoliosi



A crescita vertebrale completata il potenziale di progressione della scoliosi idiopatica è molto più basso



Aumenta quando la curva supera i 30°



- Deformità congenite
- Malattie neurologiche
- Malattie del sistema connettivale
 - Idiopatica (80%)



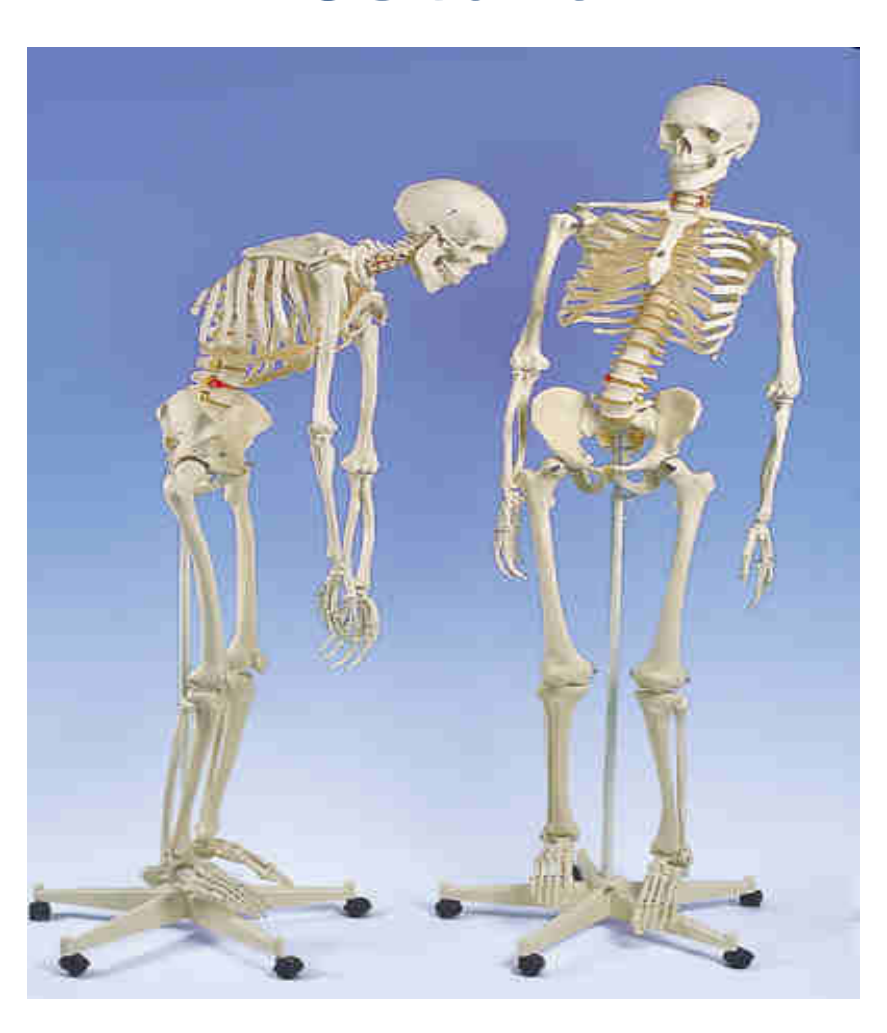
Alimentazione







Postura





EZIOLOGIA Piedi piatti





Denti





Eterometria arti inferiori





Zainetti pesanti





PATOGENESI

Danno primitivo

- Vertebra ?
 - Disco ?
 - Costa?
 - Altro?



La scoliosi...

... è il risultato finale di uno sbilanciamento di forze nella colonna dovute a diverse eziologie, non una malattia unica ma una deformità con un ampio spettro patogenetico?

Oppure c'è un solo o pochi meccanismi comuni alla maggior parte delle scoliosi?







Dati certi

• Singoli meccanismi molecolari nella patogenesi della scoliosi

 Scoliosi: condizione multieziologica causata da mutazioni in molti geni diversi.



Fattori iniziali e di progressione

• Fattori che inducono la scoliosi: teorie patogenetiche

Fattori che favoriscono la progressione:
 processo meccanico (torsione, circolo
 vizioso) con carico eccentrico della colonna e
 modulazione della crescita vertebrale



Processo meccanico



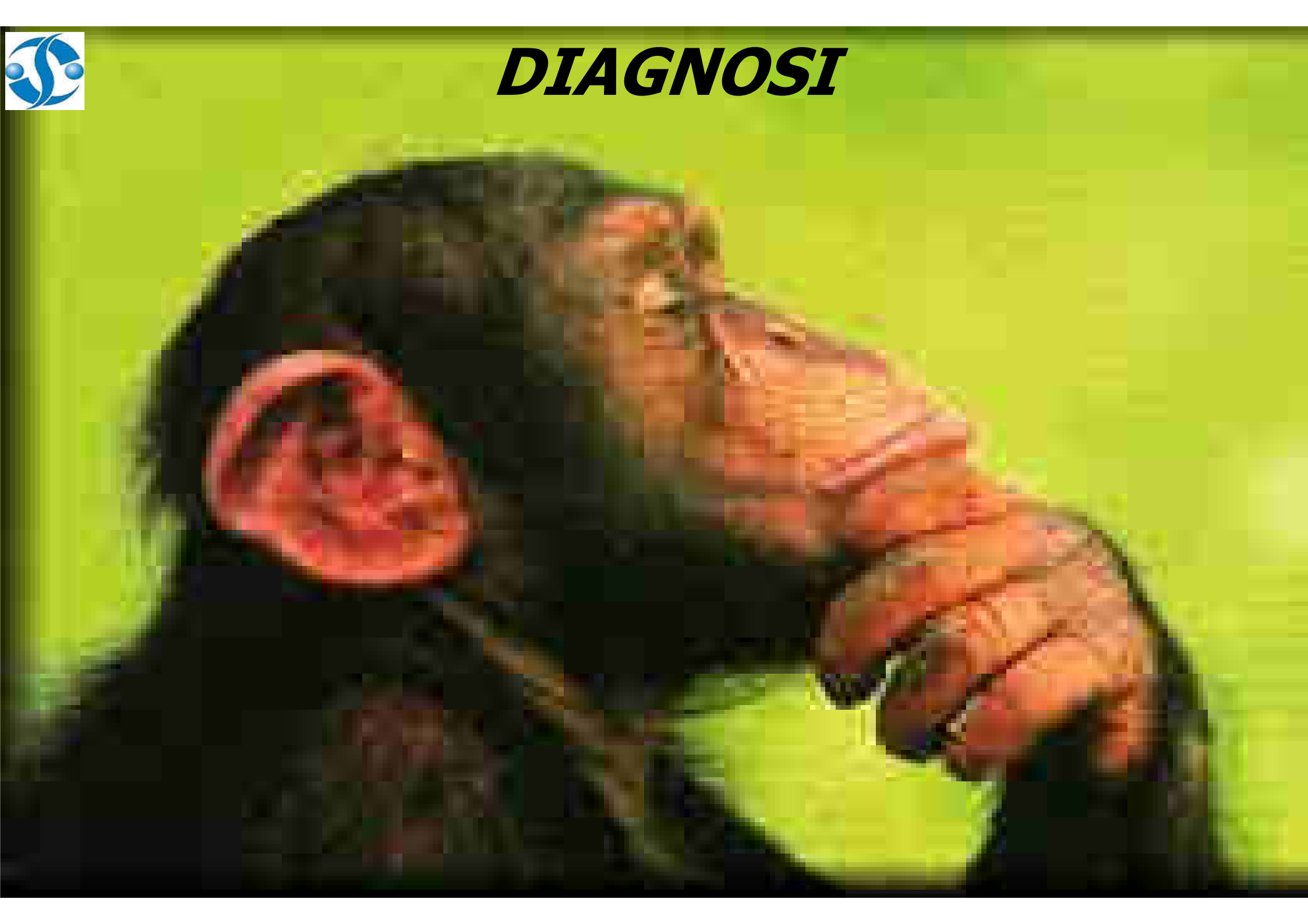
LEGGE DI HUETER- VOLKMANN= con una pressione uguale sui piatti epifisari l'epifisi cresce simmetricamente; se un' aerea è sottoposta ad una maggiore pressione non cresce tanto rapidamente o completamente quanto l'aerea sottoposta a pressione minore.



TAKE HOME MESSAGE



la deformità vertebrale causata dalla scoliosi idiopatica può essere definita come un segno di una sindrome ad eziologia multifattoriale









Inquadramento generale storia familiare
Fattori suggestivi di scoliosi secondaria
Anamnesi fisiologica
Anamnesi patologica remota
Anamnesi patologica prassima





ANAMNESI FISIOLOGICA

Svolgimento gravidanza

Esposizione materna a fattori di rischio

Anamnesi fisiologica

Parto e modalità di svolgimento

Sviluppo psico-motorio (deambulazione, dentizione, fonazione)



ANAMNESI GINECOLOGICA

Segni puberali (telarca, pubarca)

Menarca



Crescita residua

Potenzialità evolutiva della scoliosi



ANAMNESI PATOLOGICA REMOTA

- Patologie rilevanti:segni neurologici anche di scarsa entità, convulsioni febbrili, lieve ritardo mentale, dolori vertebrali.
- Interventi chirurgici:chirurgia toracica (toracotomia per atresia dell'esofago), cardiochirurgia
- Traumi



ANAMNESI PATOLOGICA PROSSIMA SCOPERTA DELLA SCOLIOSI

- Chi?
- Quando?
- Come?
- Trattamenti eseguiti
- Sospensione del trattamento



ANAMNESI NELLE VISITE DI CONTROLLO:

- Sport (tipo, frequenza settimanale)
- Esercizi specifici: quante volte a settimana fai gli esercizi?
- Quanto dura ciascuna seduta?
- Come fai gli esercizi (da solo, senza la maglietta, davanti lo specchio)?
- Chi ti segue?





ANAMNESI NELLE VISITE DI CONTROLLO:

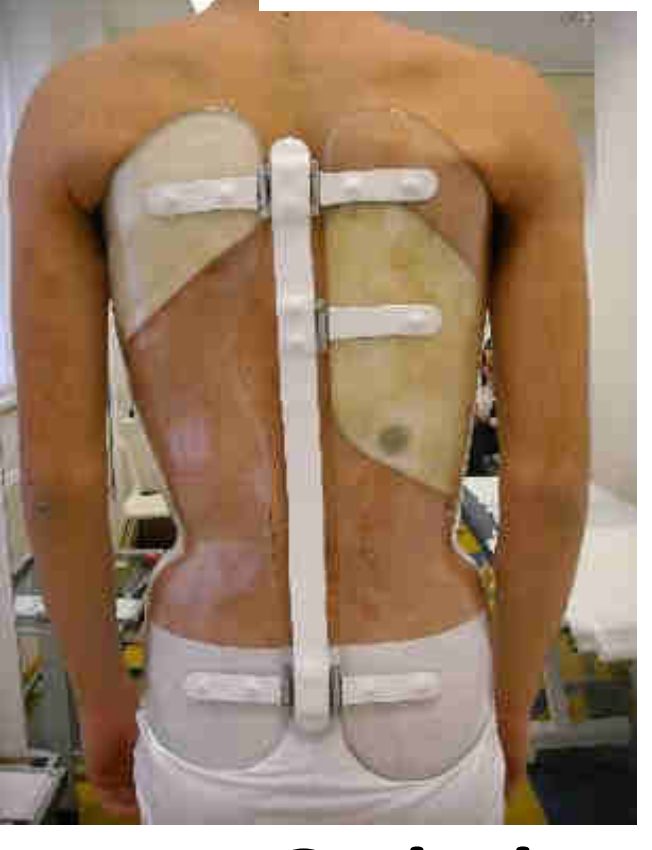
Corsetto

Quante ore lo porti?

Quante ore lo togli?

 Hai rispettato sempre durante questo periodo le ore prescritte?

_II Thermobrace contribuisce a:

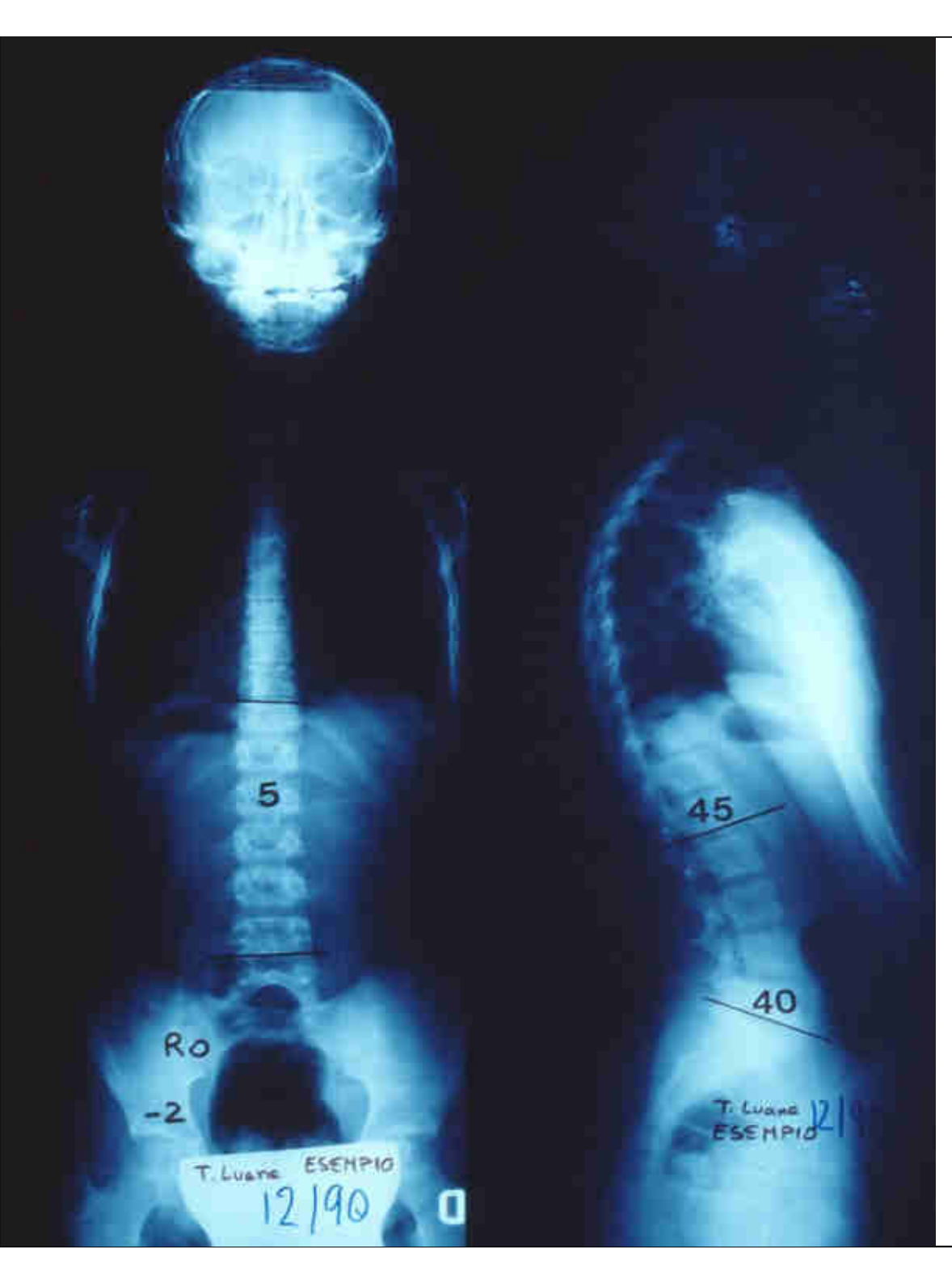




Ricerca
Pratica clinica

Ottimizzazione delle scelte terapeutiche

Nessun effetto collaterale sulle relazioni interpersonali



ESAME CLINICO

Analisi morfologica basata su misure di superficie

Valutazioni qualitative Valutazioni quantitative Valutazioni semiquantitative





TRACE



Uno strumento per la valutazione estetica

- Simmetria delle spalle
- Profili scapolari
- Triangoli della taglia
- Emitorace



Asimmetria spalle





Asimmetria scapole



Punteggio 0-2



Triangolo della taglia





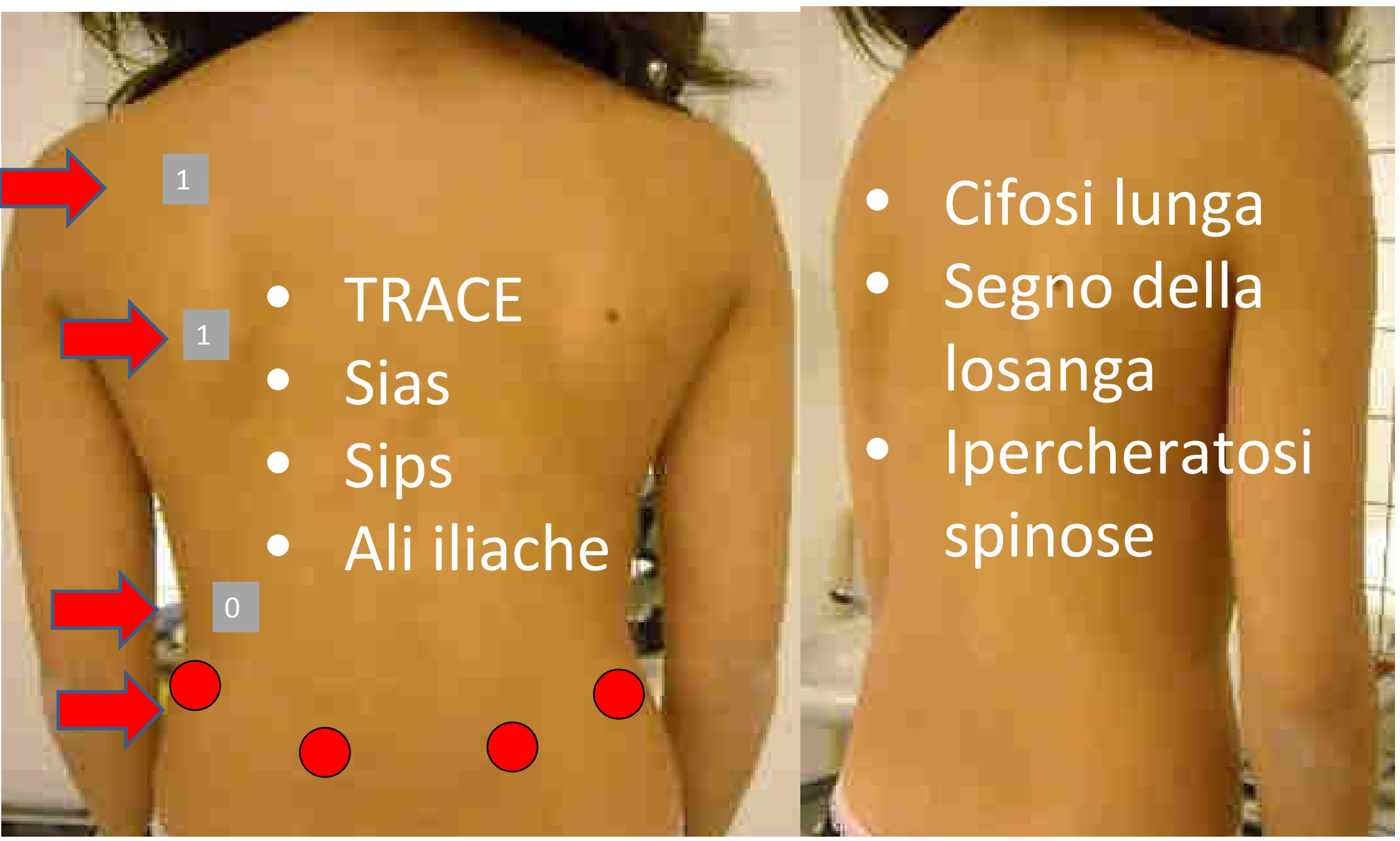
Emitorace

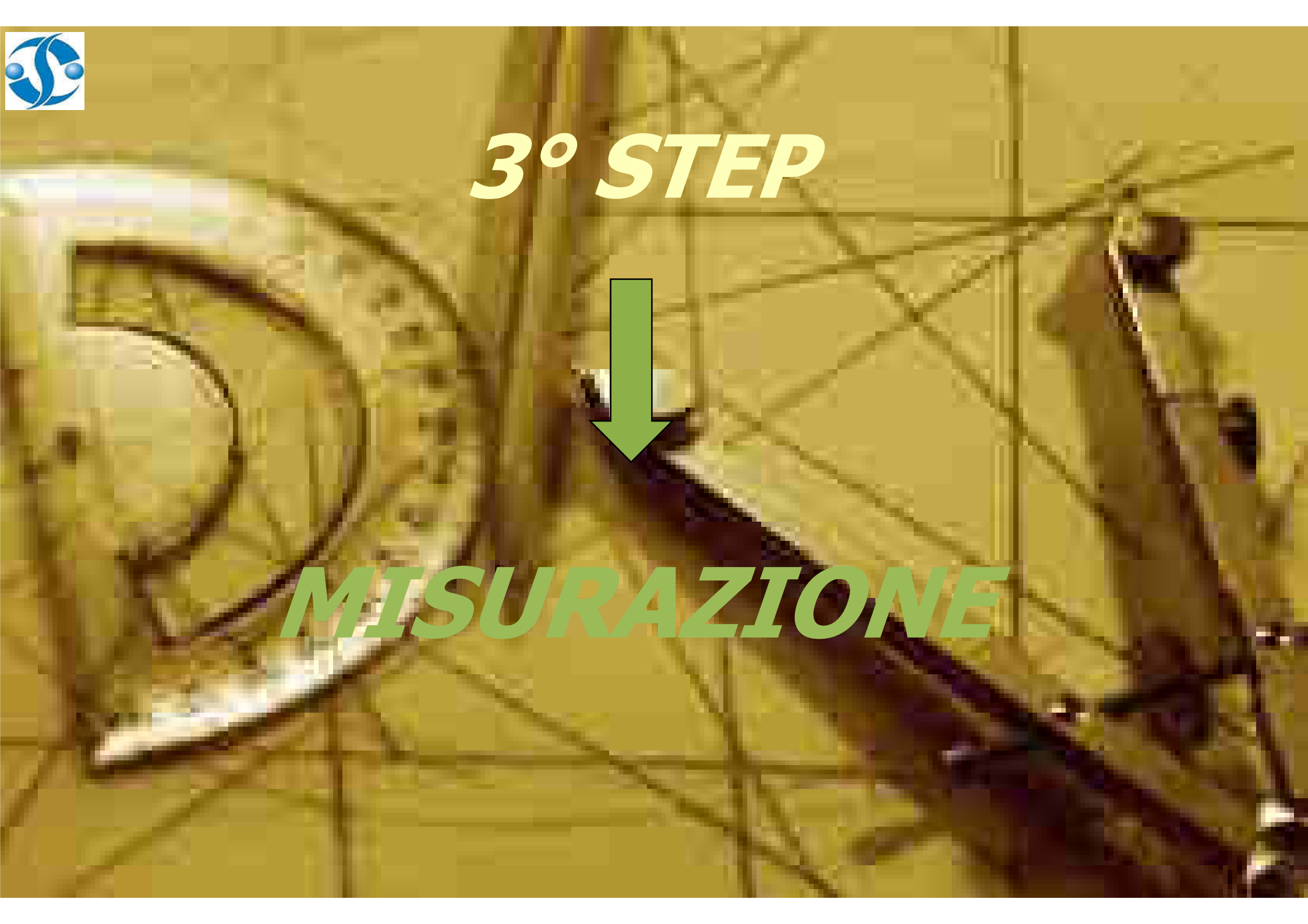


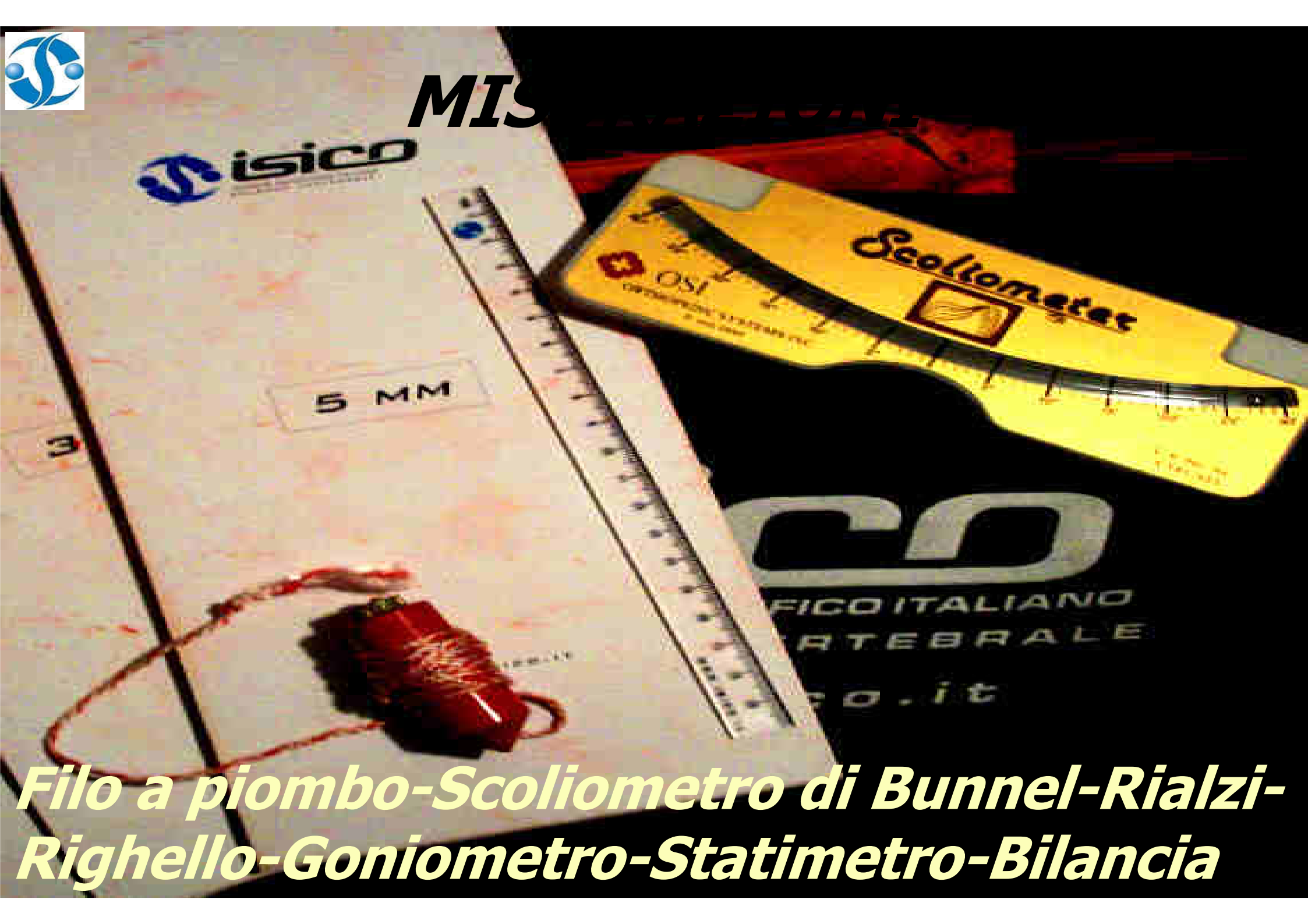
Punteggio 0-2

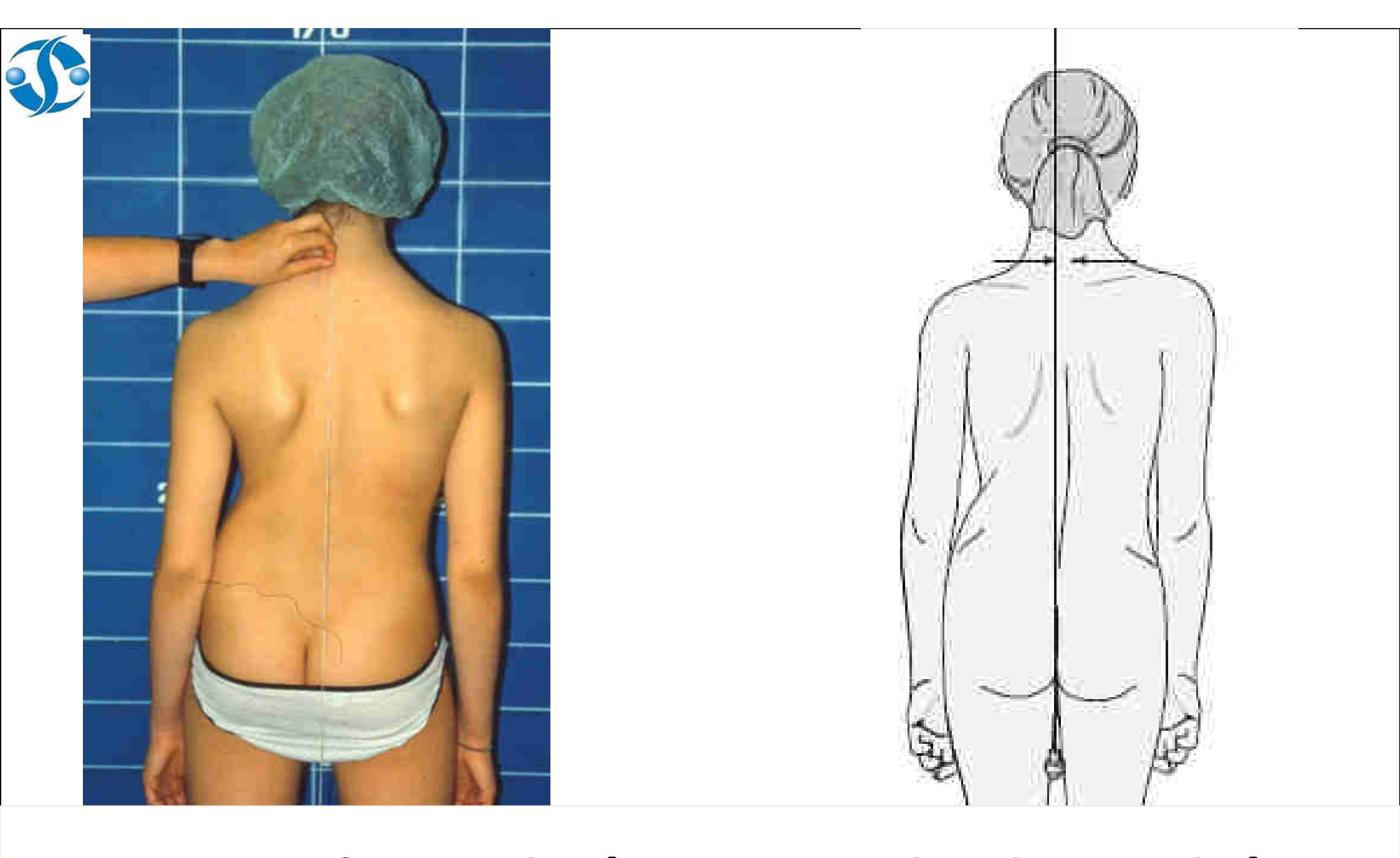


Osservazione









Piano frontale (Strapiombo laterale)



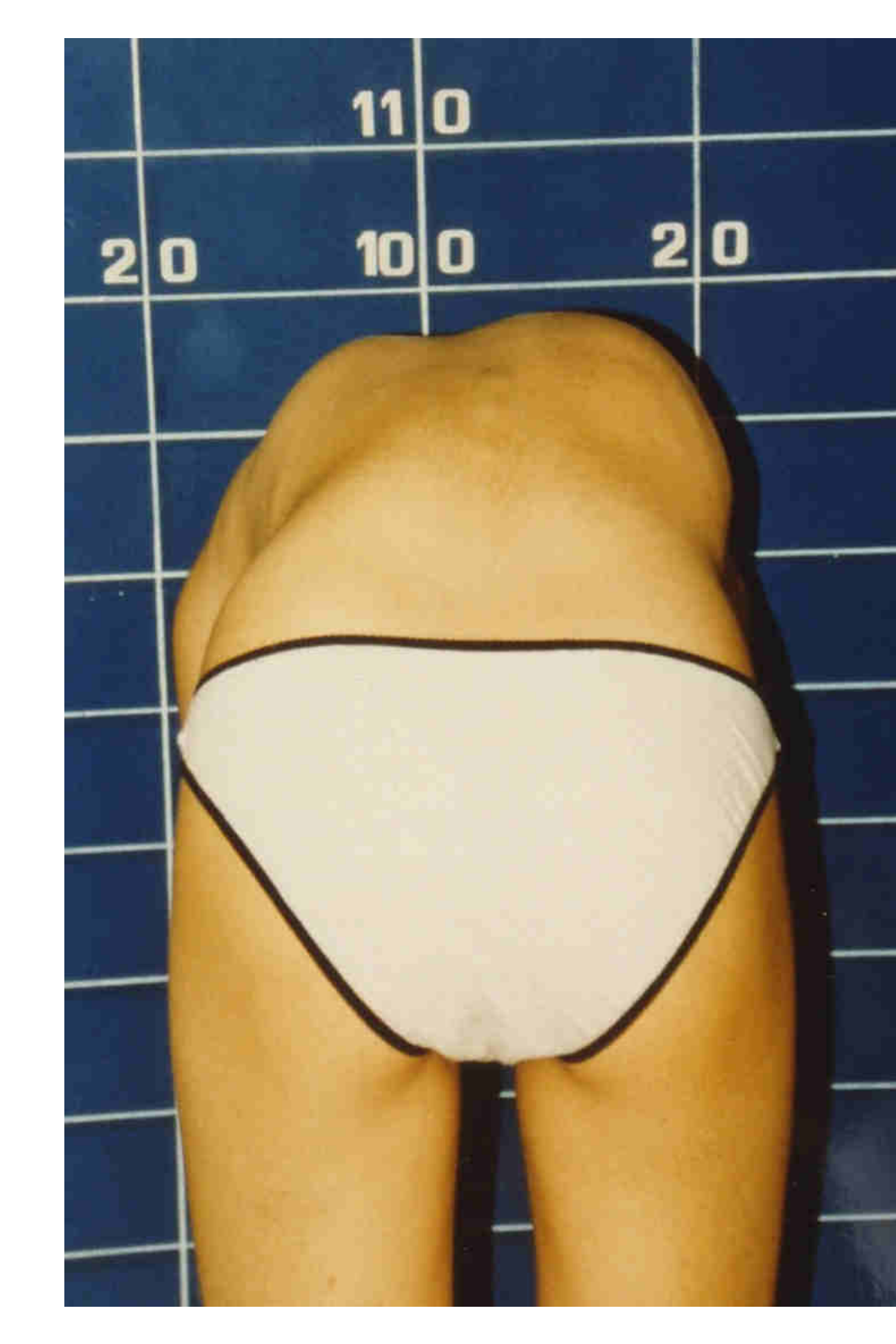
Test di Adams

Flessione anteriore (Foward Bending Test)



Gibbo

Rialzo delle coste sulla convessità di una curva vertebrale, è il riflesso della rotazione vertebrale

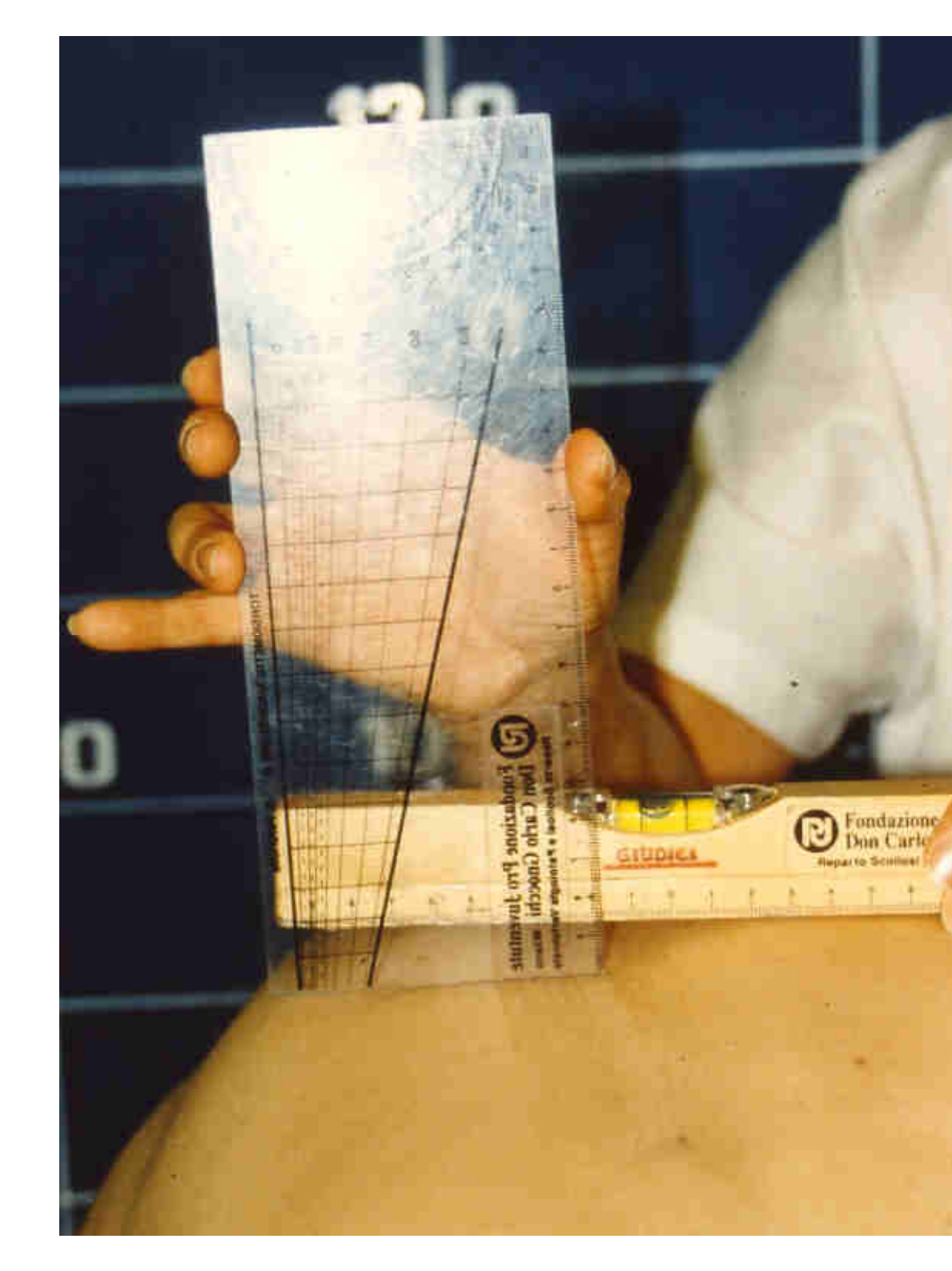






Misurazione del gibbo

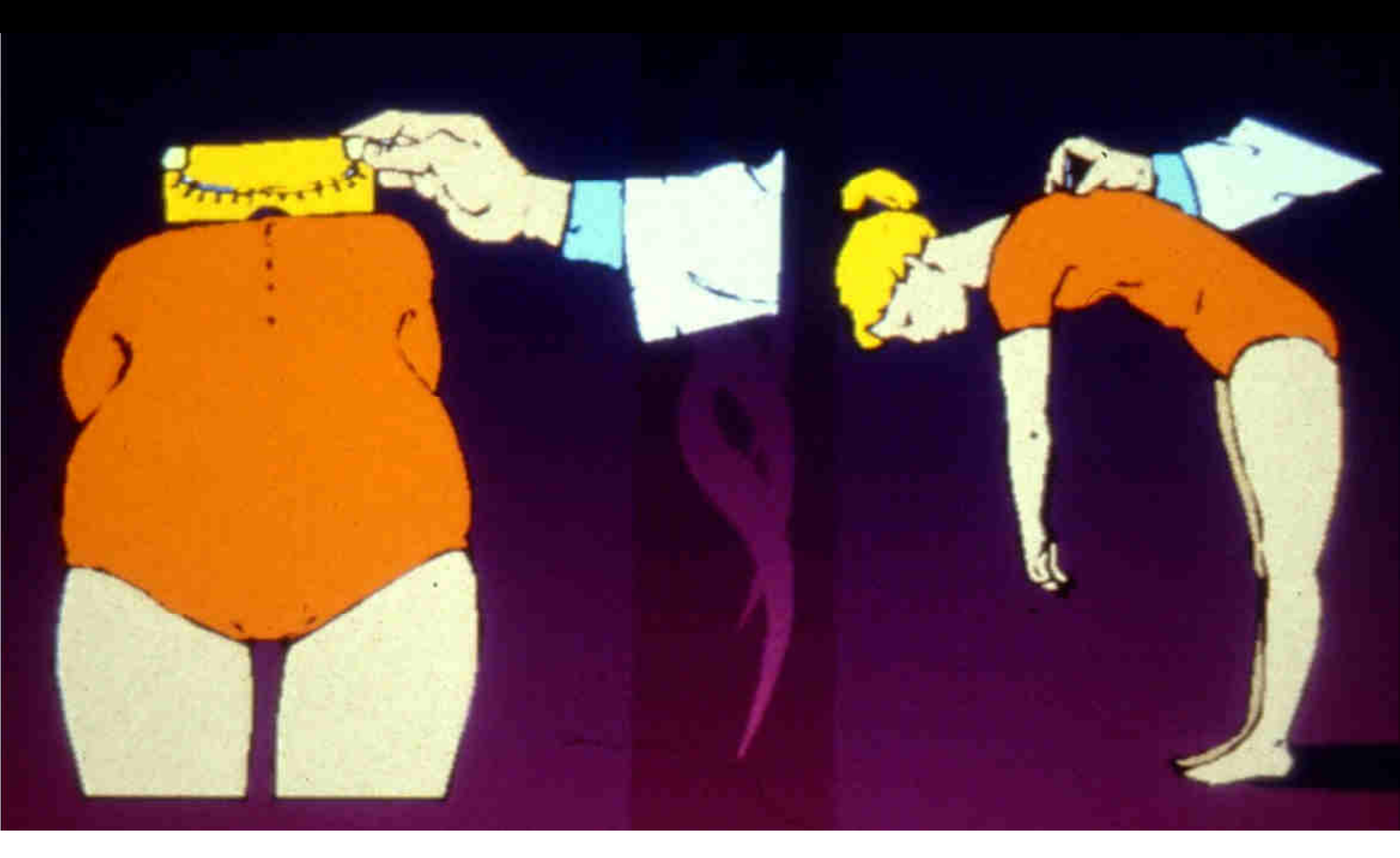
- Gradi
- mm





Scoliometro

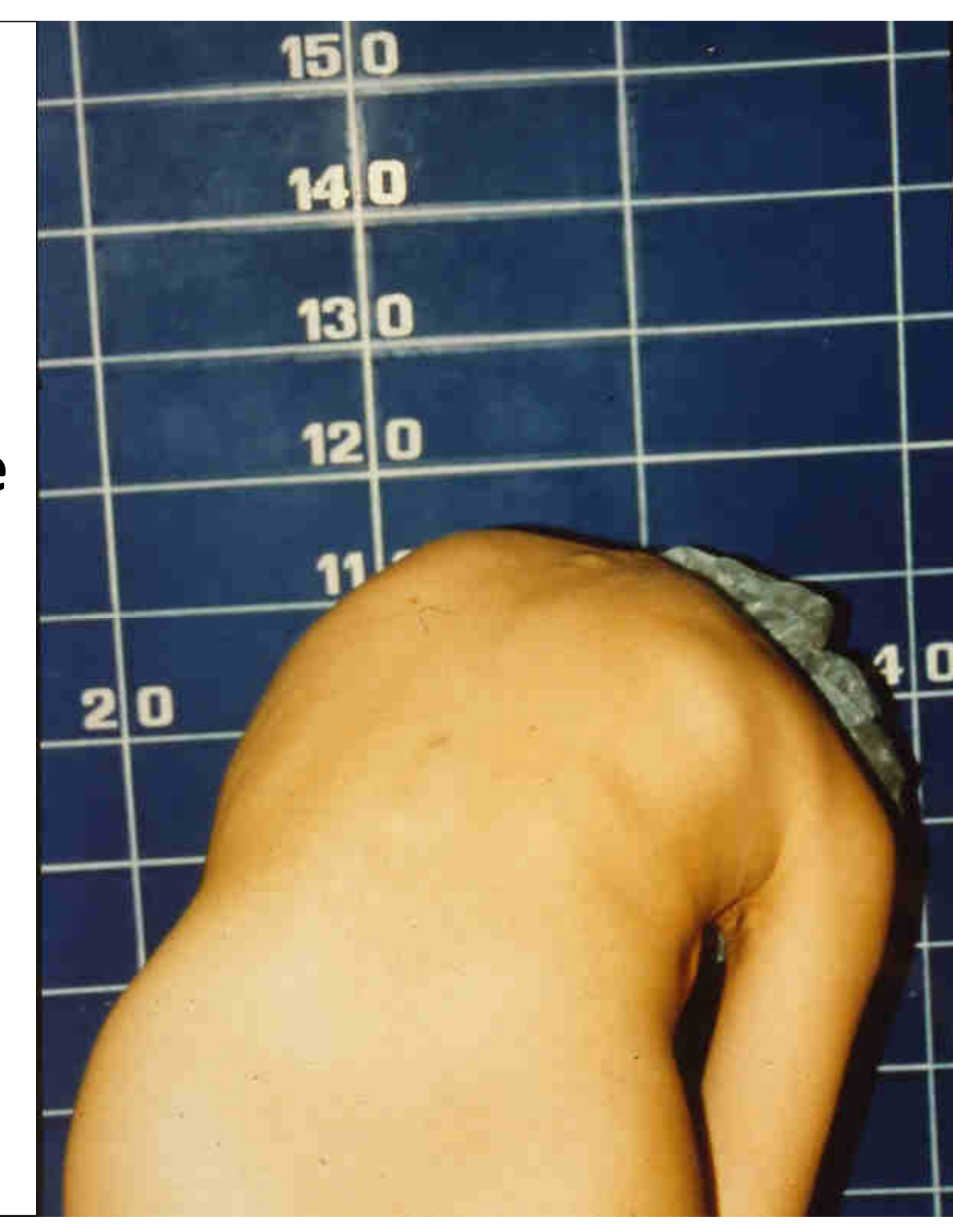
Scoliometro





Bending laterale

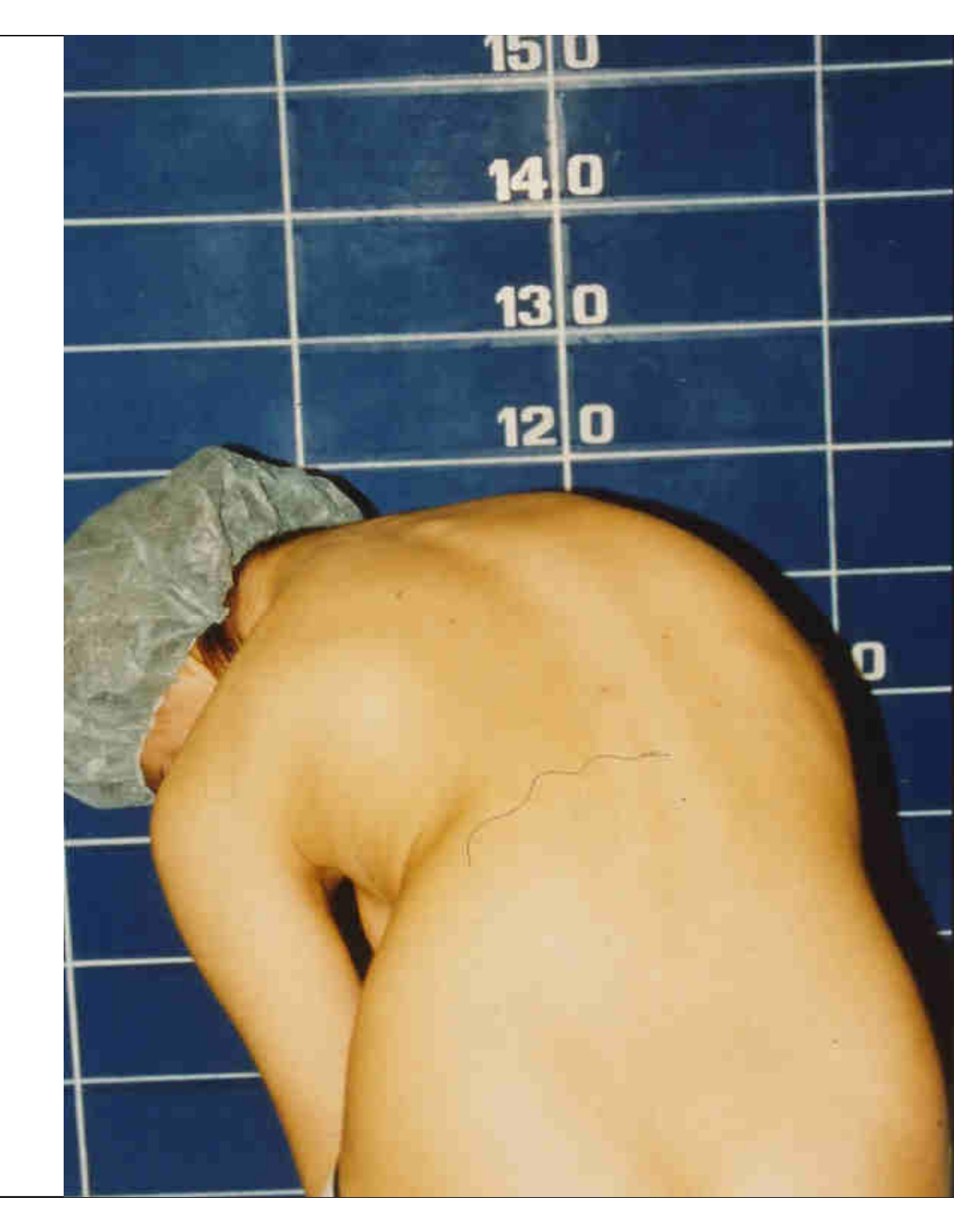
Riducibilità in flessione laterale destra (valutazione rigidità della curva)





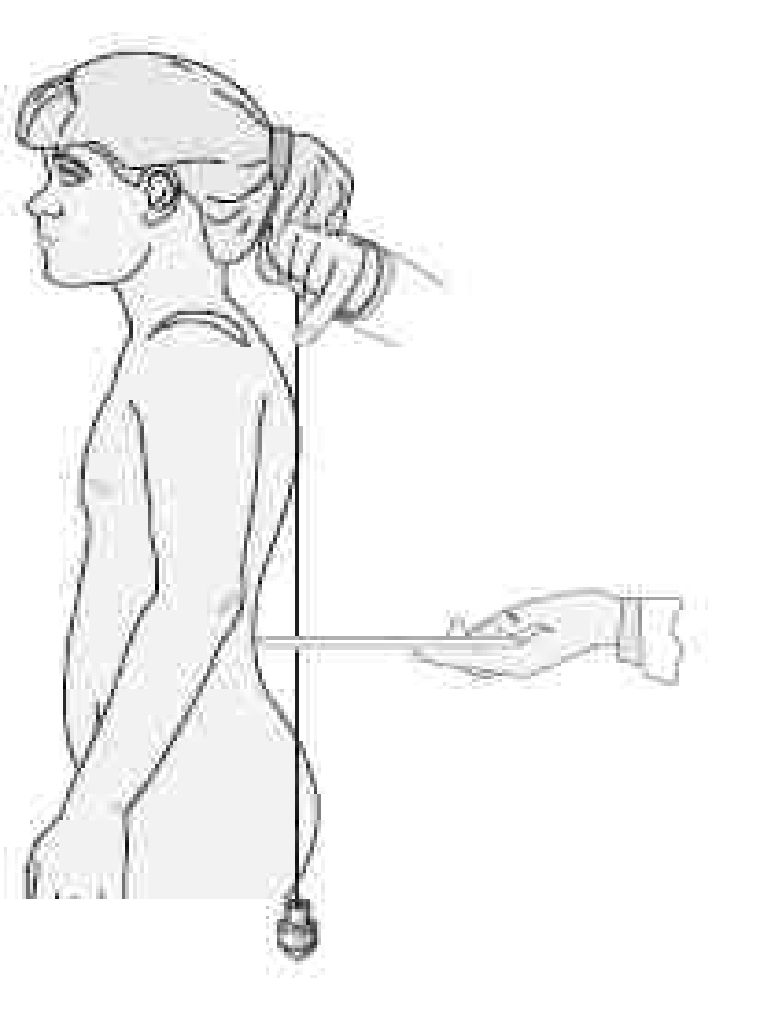
Bending laterale

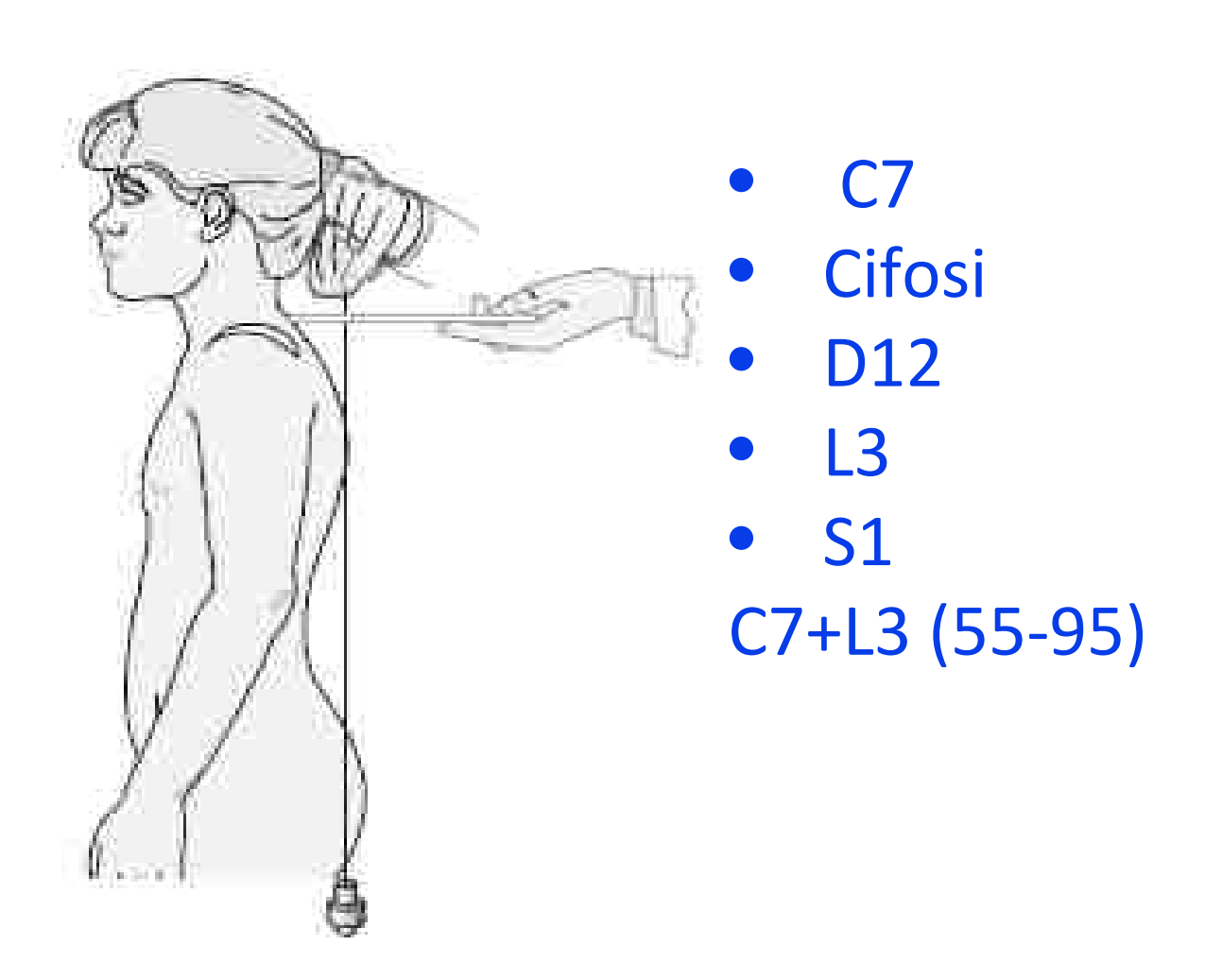
Riducibilità in flessione laterale sinistra (valutazione rigidità della curva)



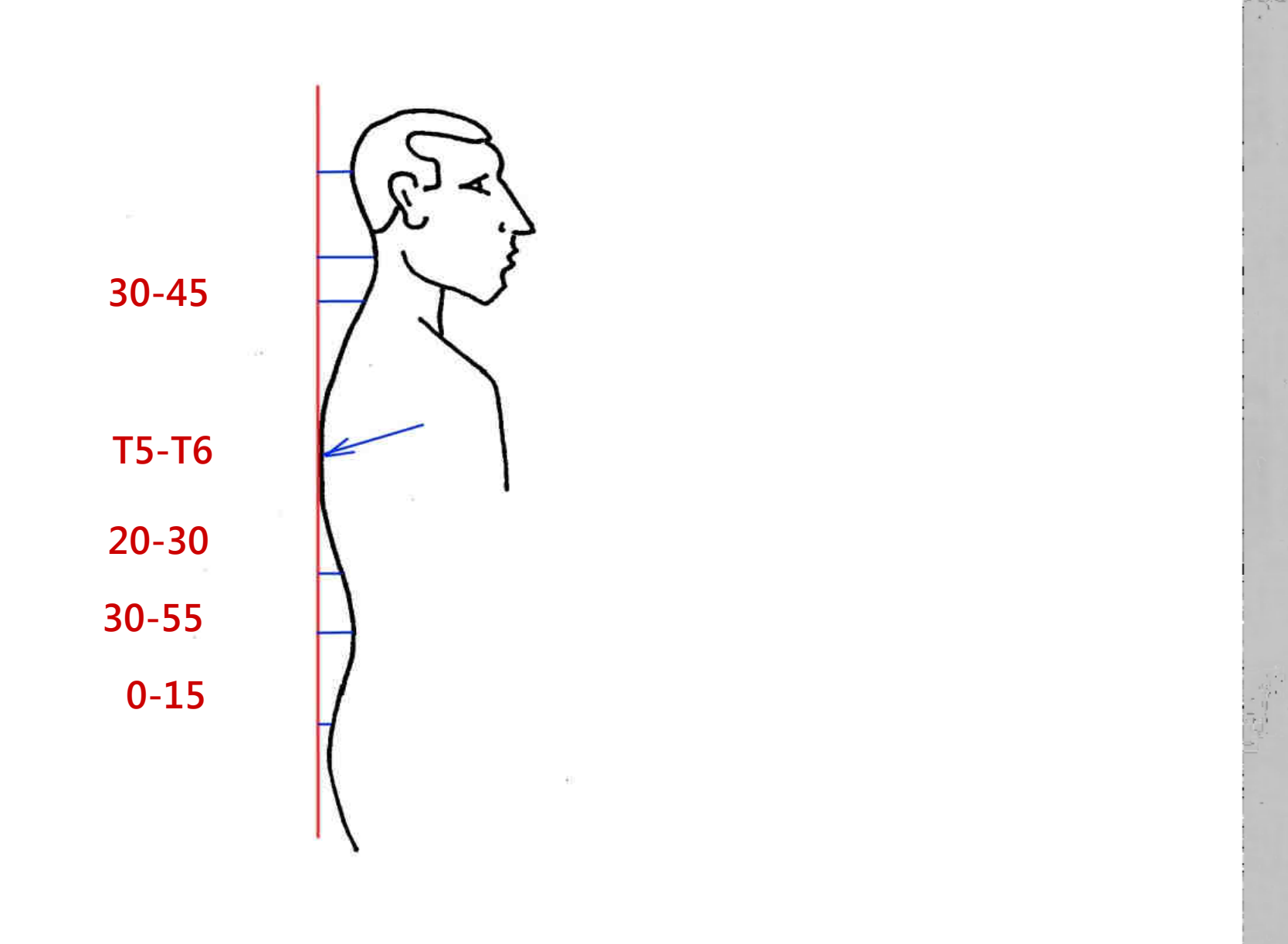


Frecce

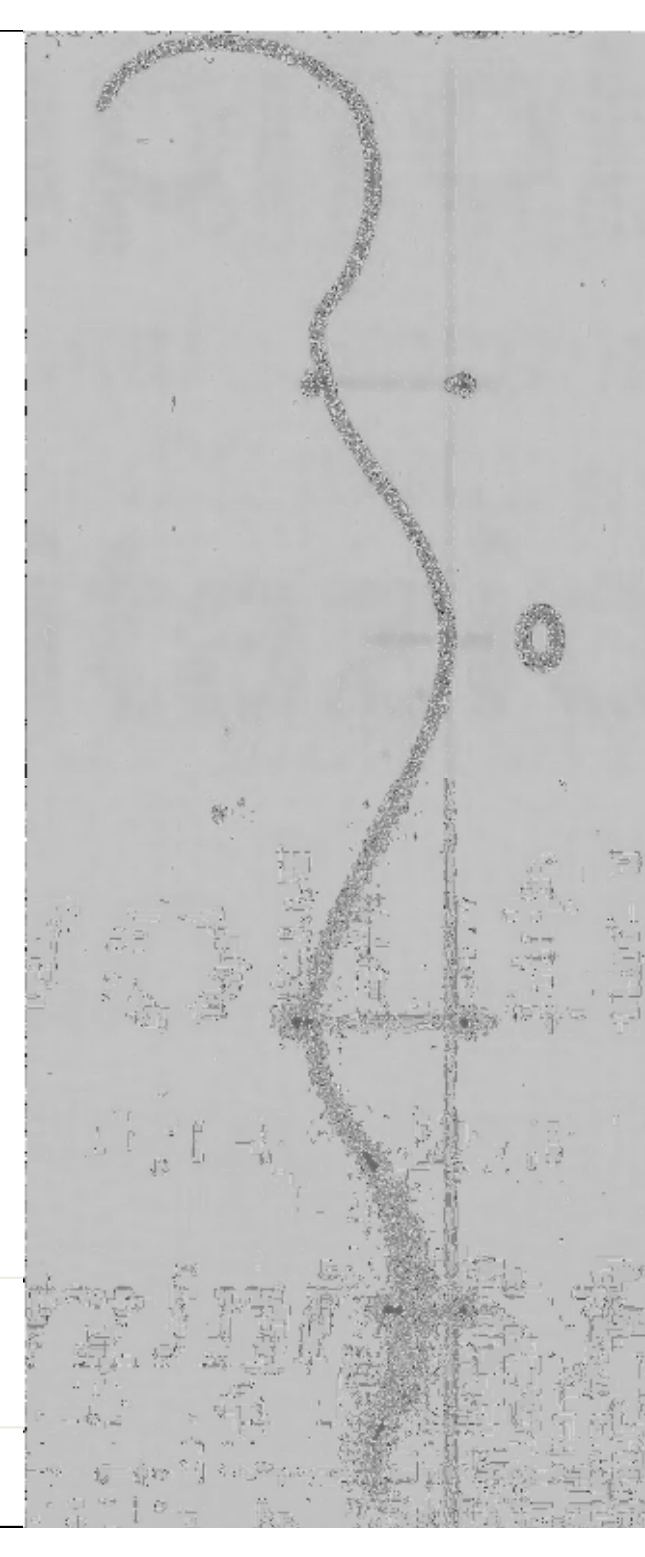




Misurazione cifosi e lordosi



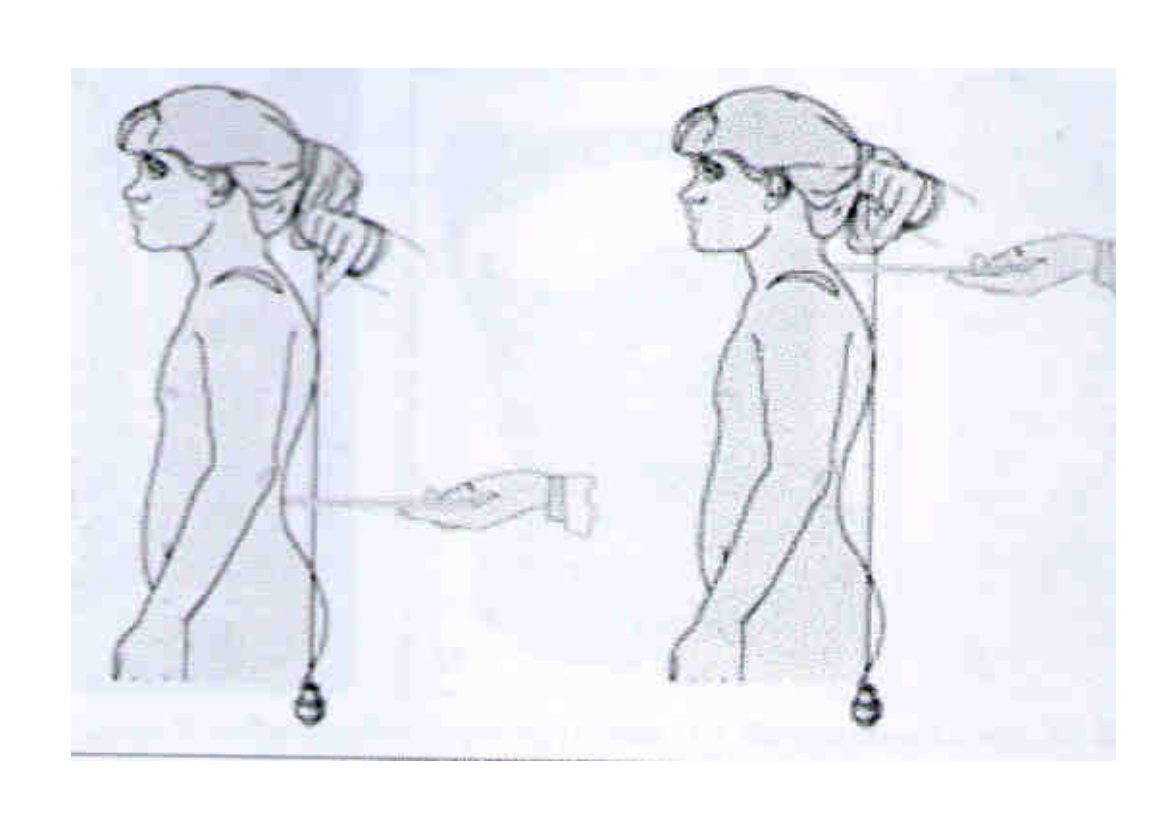






MISURAZIONE

STRUMENTI CLINICI:



Plumbline distance at C7: 34±11 mm (F) and 34±10mm (M)

Plumbline distance at L3: 34±15 mm (F) and 48± 10mm (M)

Zaina F., Donzelli S., Lusini M., Negrini S. Research into Spinal Deformities. 2012

MISURAZIONE

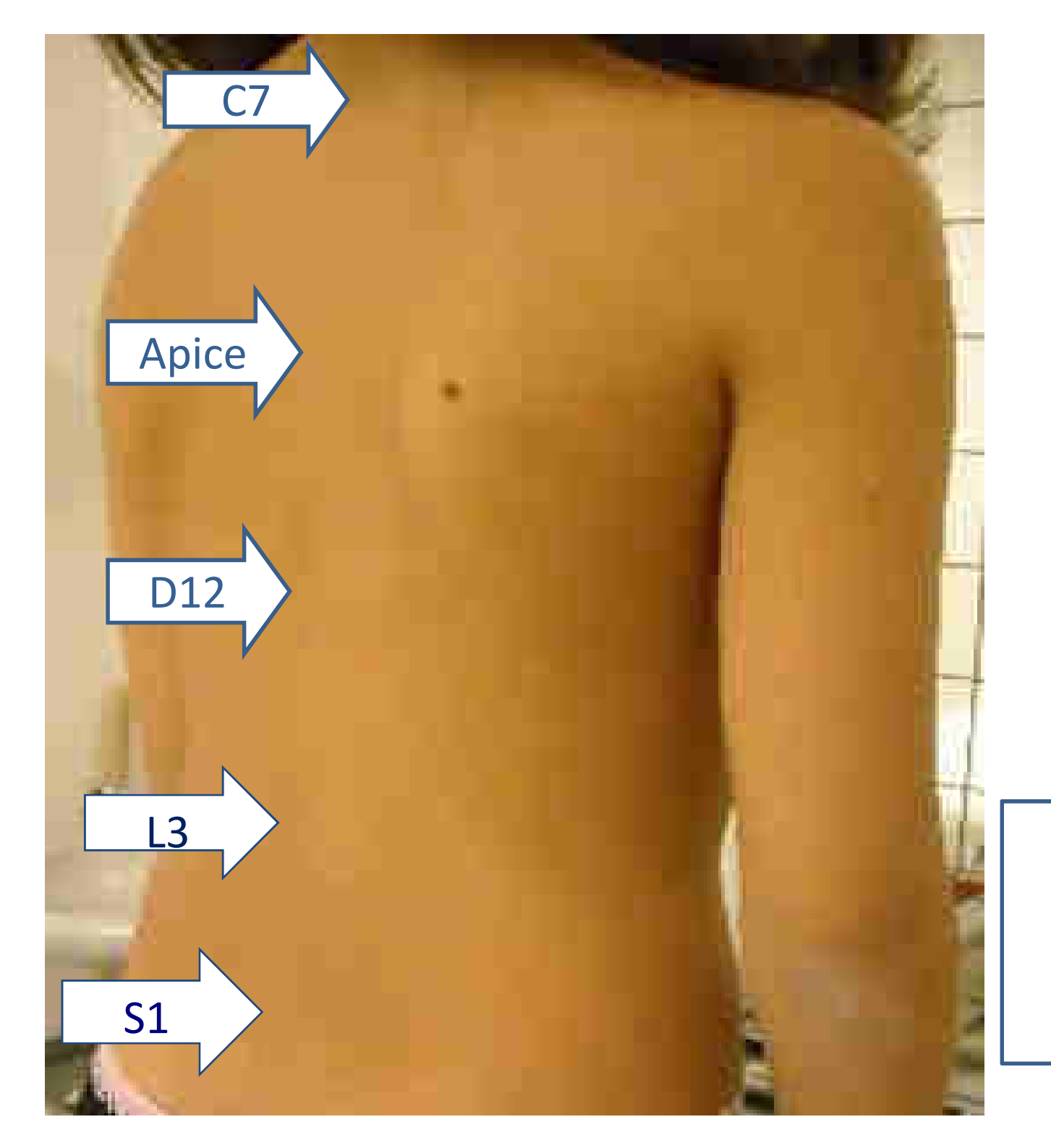
STRUMENTI CLINICI:

Plumbline distance at C7 -> correlation with Kyphosis

Plumbline distance at L3 -> correlation with Lordosis

Sagittal index (C7+L3) > 95 --> risk of hyperkyphosis

Zaina F., Donzelli S., Lusini M., Negrini S. Research into Spinal Deformities. 2012

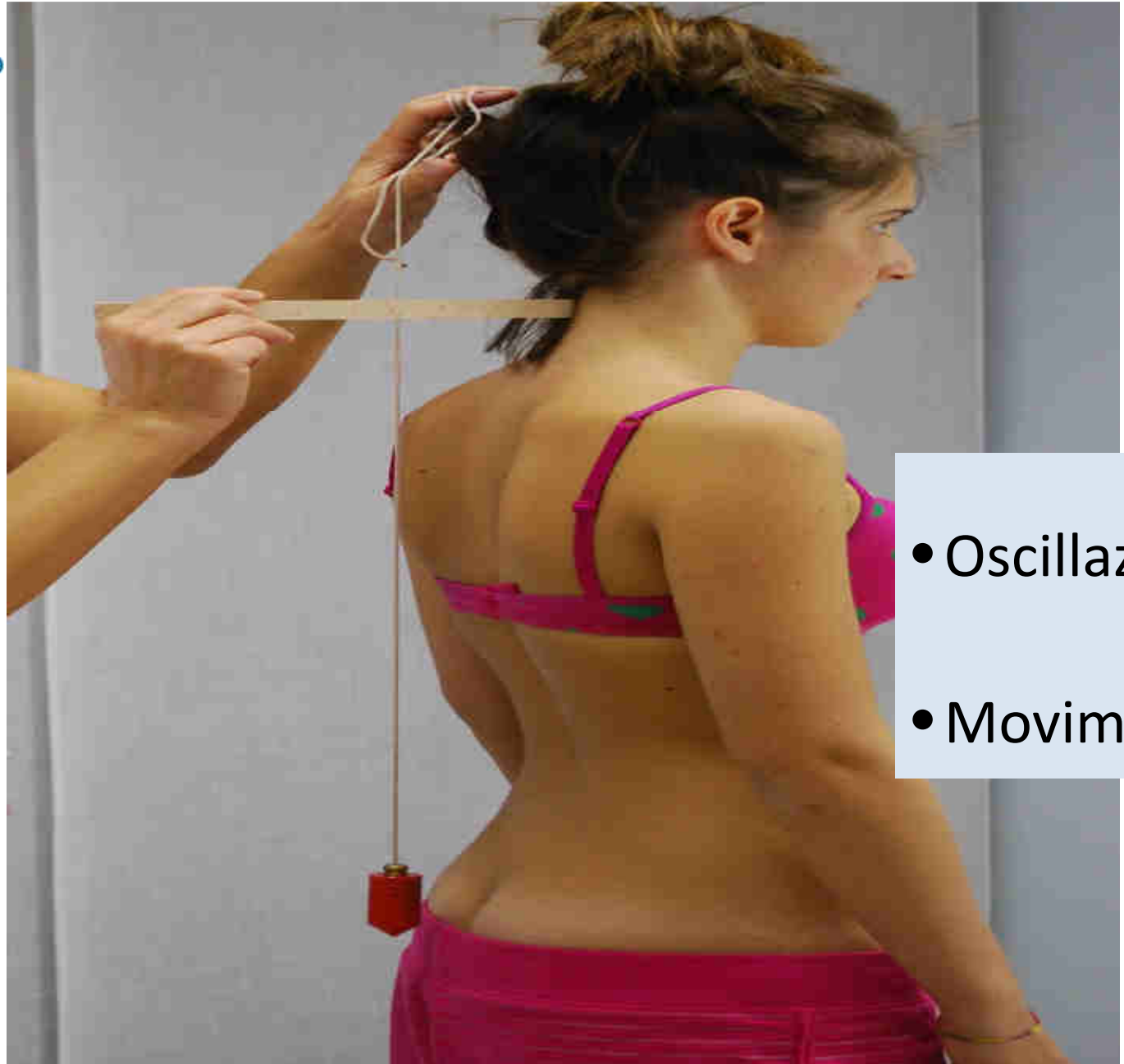


Frecce

PUNTI DI REPERE

C7+L3= Sagittal Index





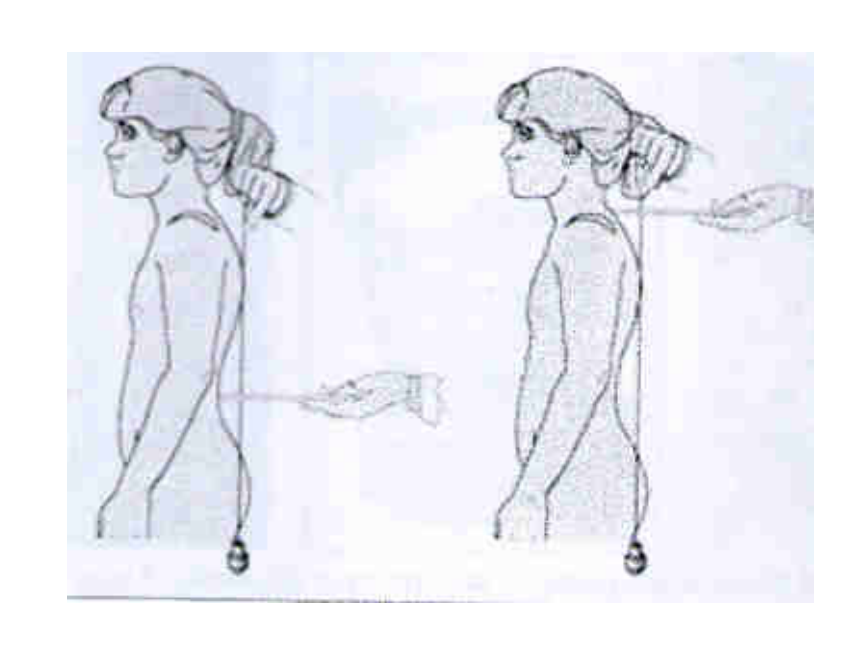
Errore di misura

- Oscillazioni filo a piombo
- Movimenti del paziente



MISURAZIONE

STRUMENTI CLINICI:



ERRORI DI MISURA



0.9 intra-operatore

1.7 inter-operatore

L3:

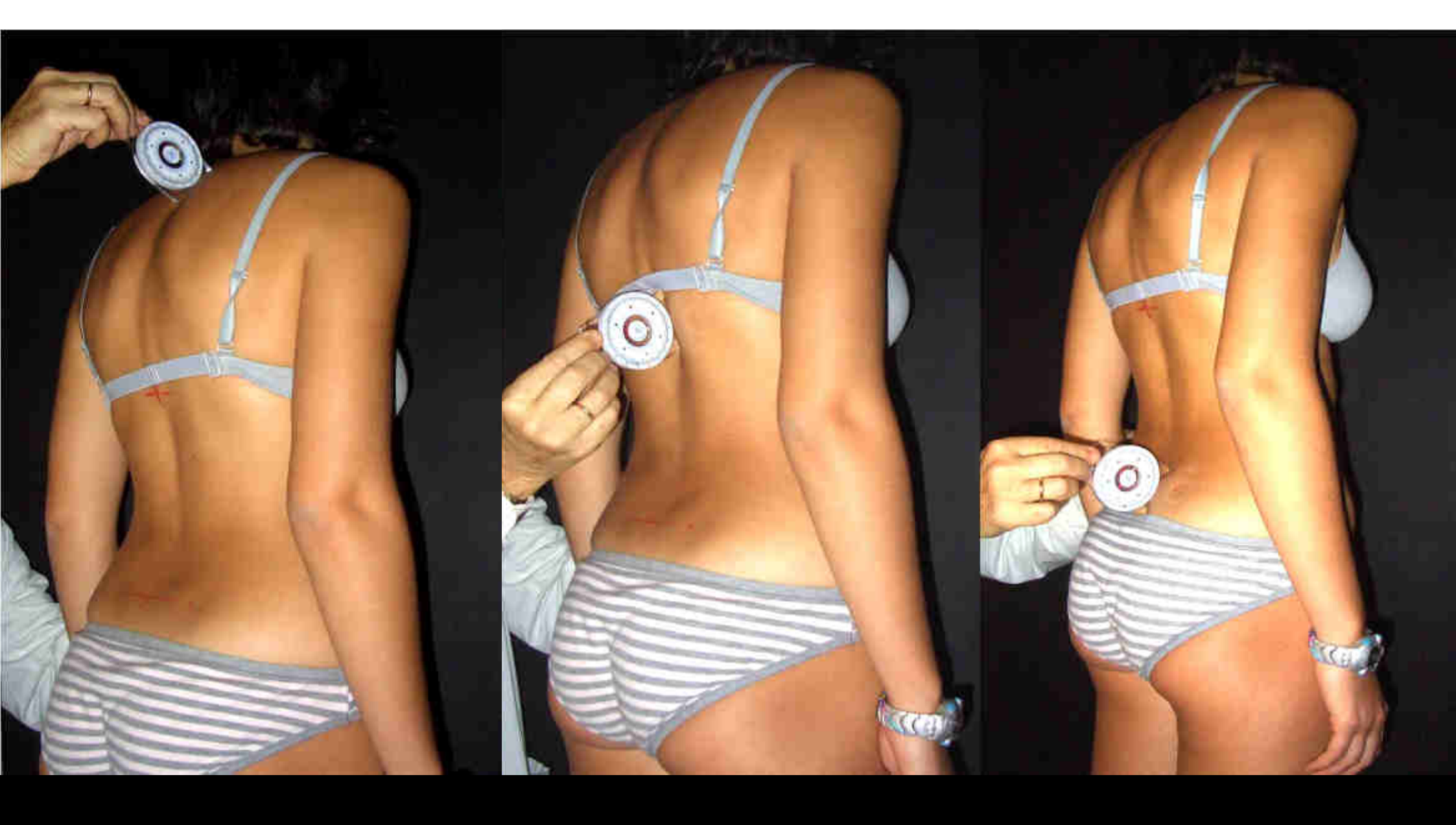
1.2 intra-operatore

2.2 inter-operatore

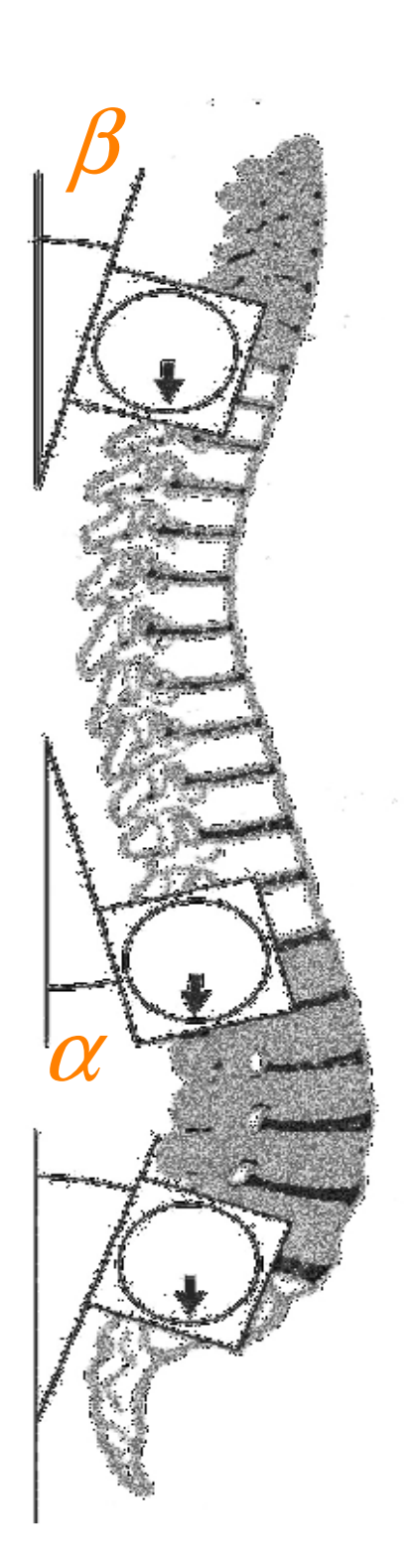


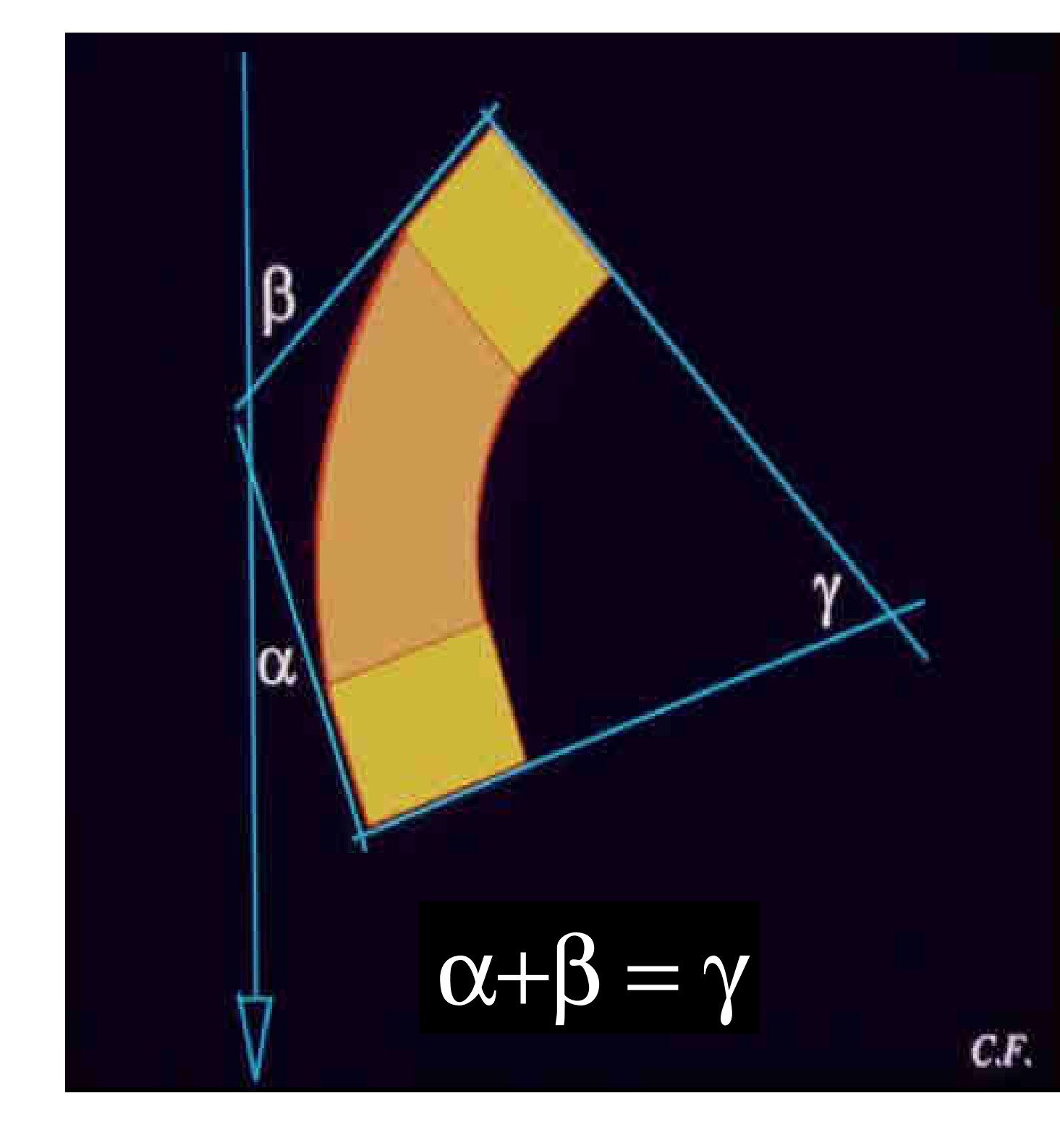
Errore di misura

	Intra-rater	Inter-rater
Plumbline at C7 (cm)	0.9	1.7
Plumbline at D12 (cm)	1.3	1.9
Plumbline at L3 (cm)	1.2	2.2
Arcometer (Cobb degree)	7	15
Inclimed (Cobb degree)	6	



INCLINOMETRO



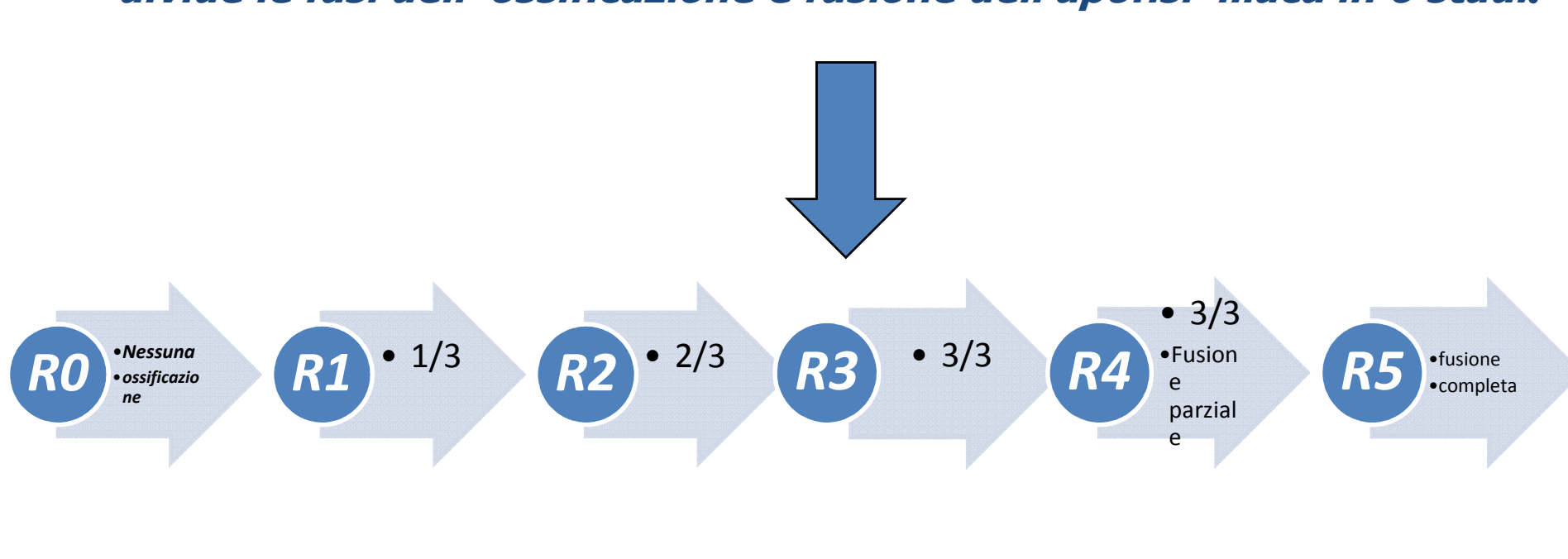






SEGNO DI RISSER

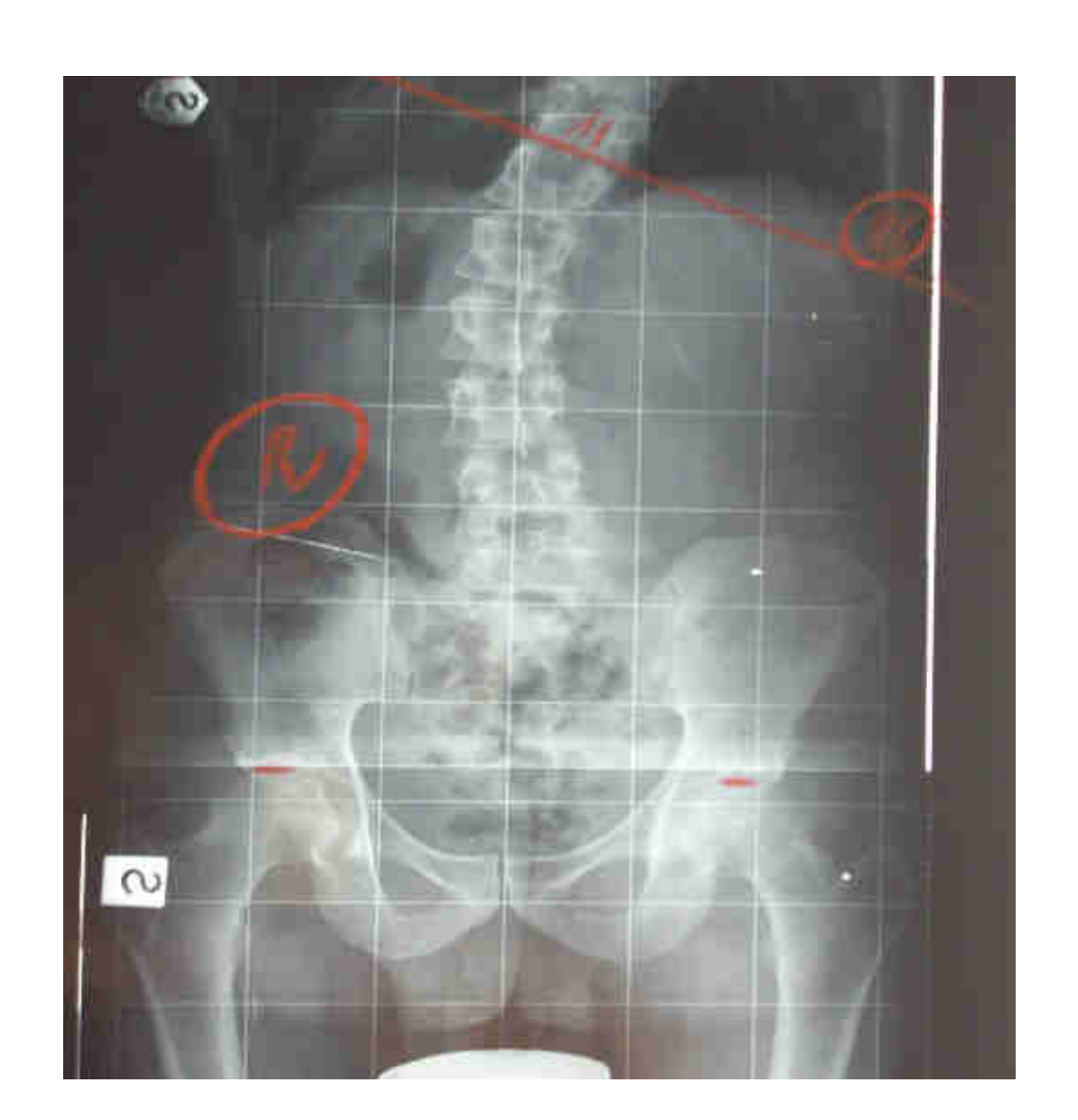
divide le fasi dell'ossificazione e fusione dell'apofisi iliaca in 6 stadi:



MATURITA' SCHELETRICA



SEGNO DI RISSER

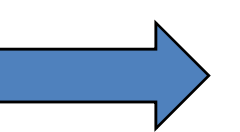


- Ali Iliache
- Cartilagine triradiata (R0-; R0+)
- Cartilagine femorale prossimale (R2; R3)
- Cartilagine trocanterica (R2; R3)
 - Cartilagine omerale prossimale (R4; R5)



Angolo della scoliosi sulla radiografia frontale (metodo di Cobb)

Angolo tra le limitanti







Angolo della scoliosi sulla radiografia frontale (metodo di Cobb)

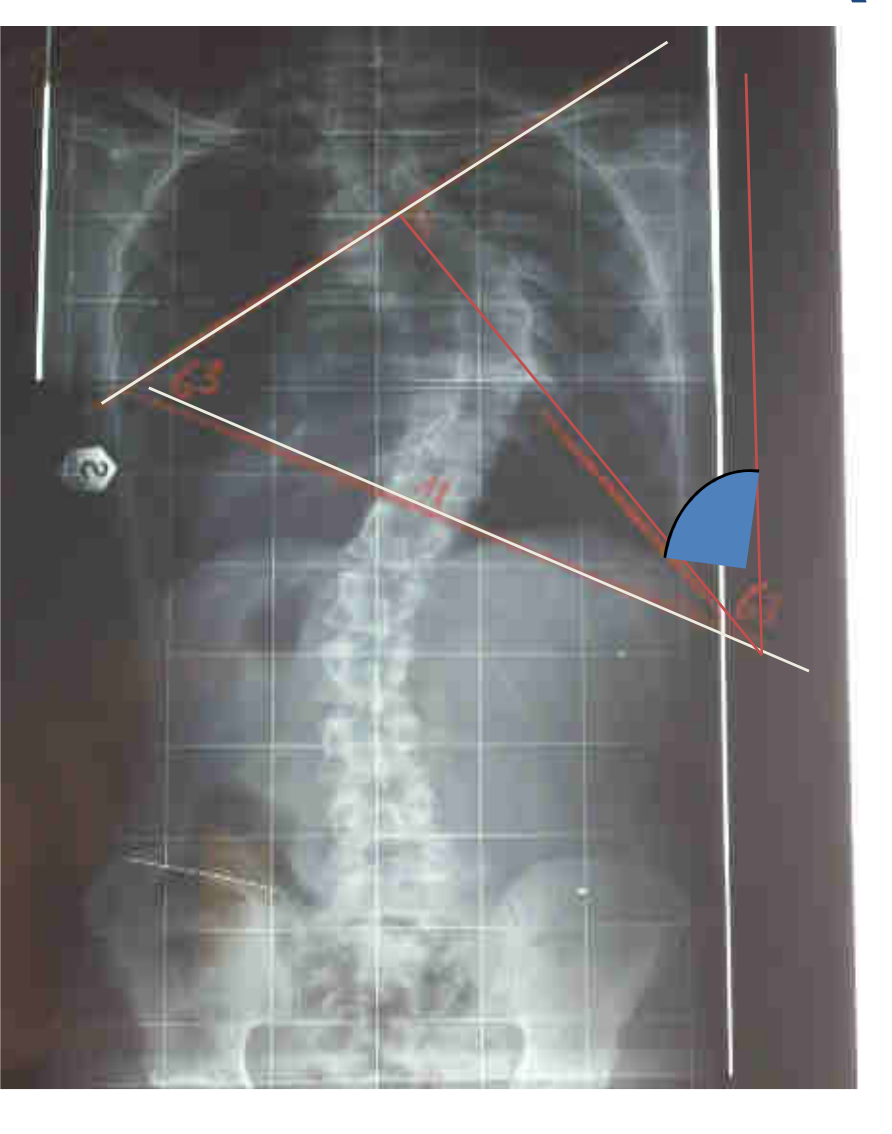
Angolo tra le perpendicolari alle limitanti







Angolo della scoliosi sulla radiografia frontale (metodo di Cobb)

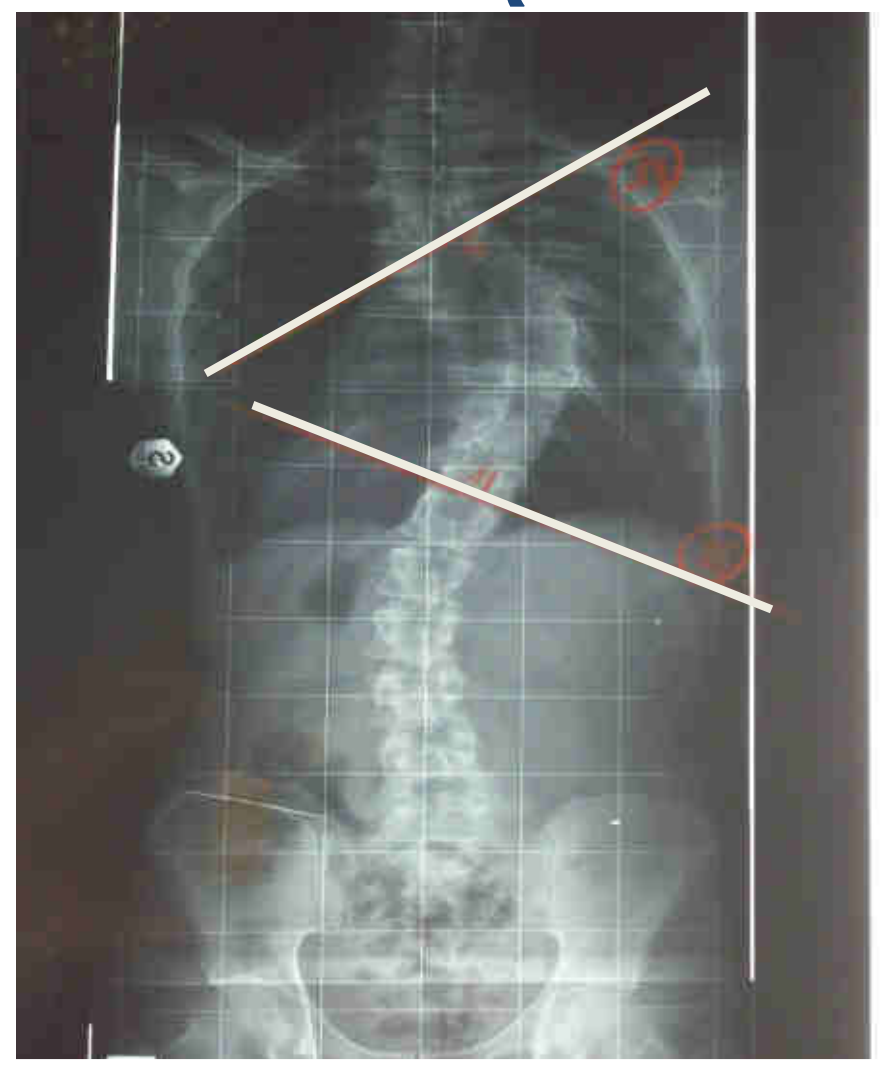




Angolo tra l'asse verticale e l'intersezione della perpendicolare tra le due limitanti



Angolo della scoliosi sulla radiografia frontale (Somma delle pendenze)



- Scoliometro
 - Scoligauge
- Goniometro
- Screen Protractor



disequilibri del piano sagittale



EQUILIBRIO SAGITTALE
GLOBALE:

• *TK*

• **LL**

Parametri pelvici
(PI, PT, SS)
Parametri Spinopelvici
(SSA)

DORSO PIATTO
O
DORSO CAVO



Teoria del gradino SIBILLA







OBIETTIVI del TRATTAMENTO

```
Aspetto estetico 11
Gradi Cobb della scoliosi 8
Funzione respiratoria 7
Mal di schiena
Benessere psicologico 5
Progressione in età adulta
Disabilità 3
Qualità di vita
Necessità di ulteriori trattamenti in età adulta
```



SCOLIOSI LIEVI

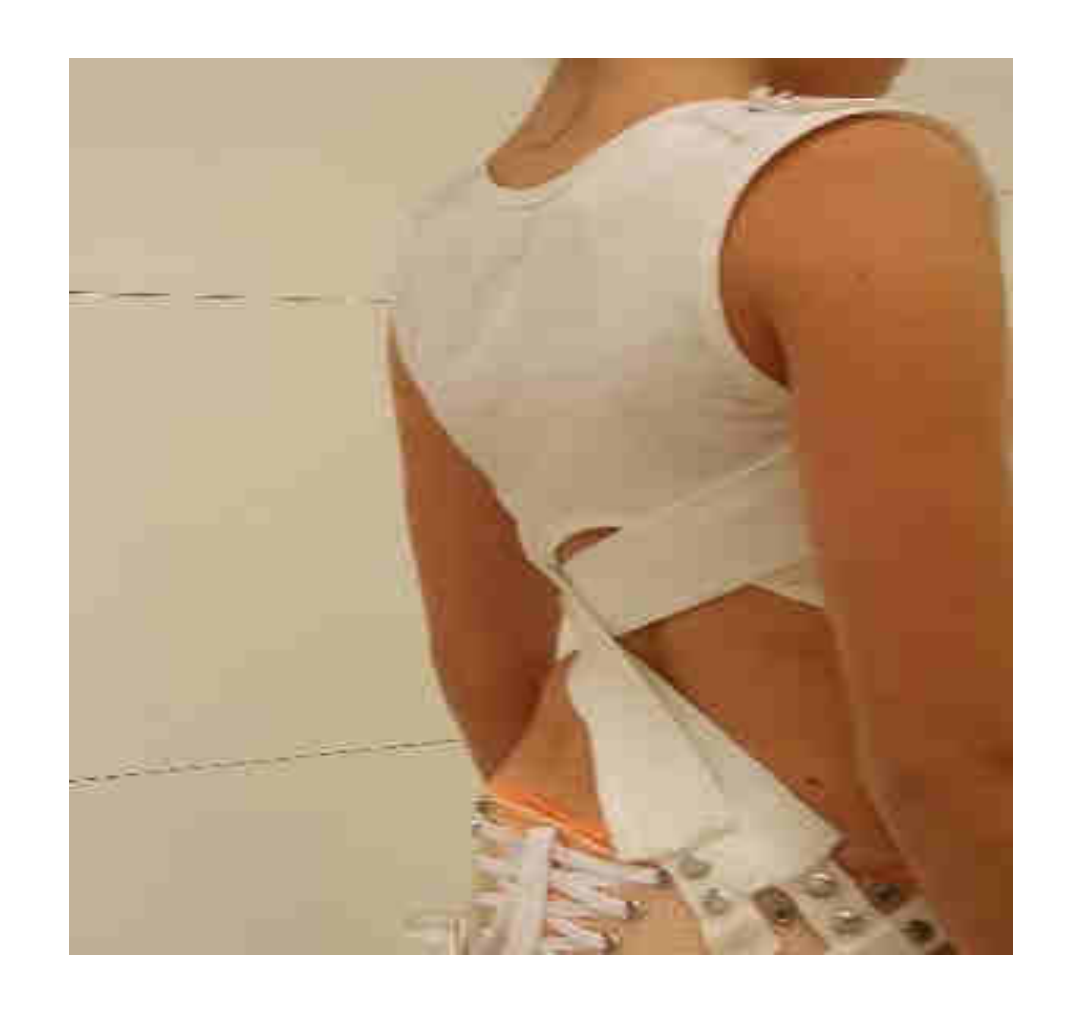
• OSSER VAZIONE: semestrale

• ESERCIZIO: esercizio specifico correttivo nei 3 piani dello spazio a complessità crescente (approccio SEAS)



SCOLIOSI DA LIEVI A MODERATE







TERAPIA SCOLIOSI MODERATE

Luglio 2013

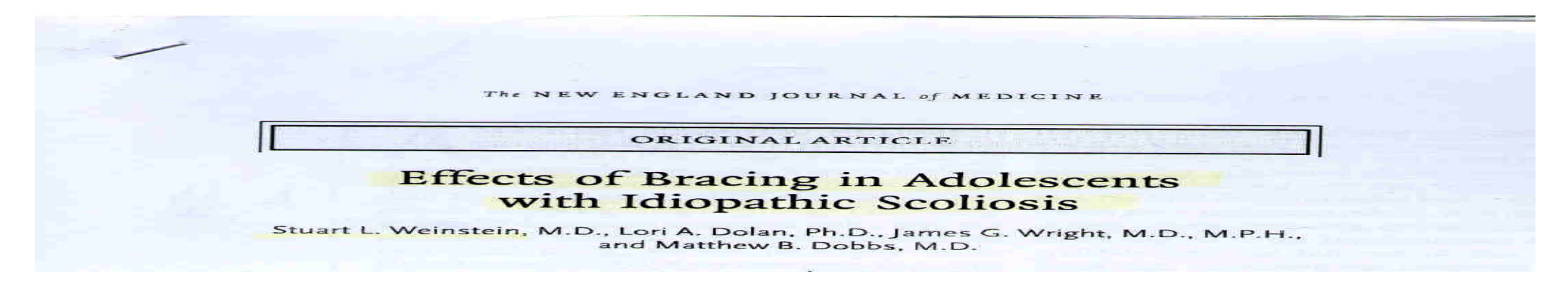
The NEW ENGLAND JOURNAL of MEDICINE

ORIGINAL ARTICLE

Effects of Bracing in Adolescents with Idiopathic Scoliosis

Stuart L. Weinstein, M.D., Lori A. Dolan, Ph.D., James G. Wright, M.D., M.P.H., and Matthew B. Dobbs, M.D.



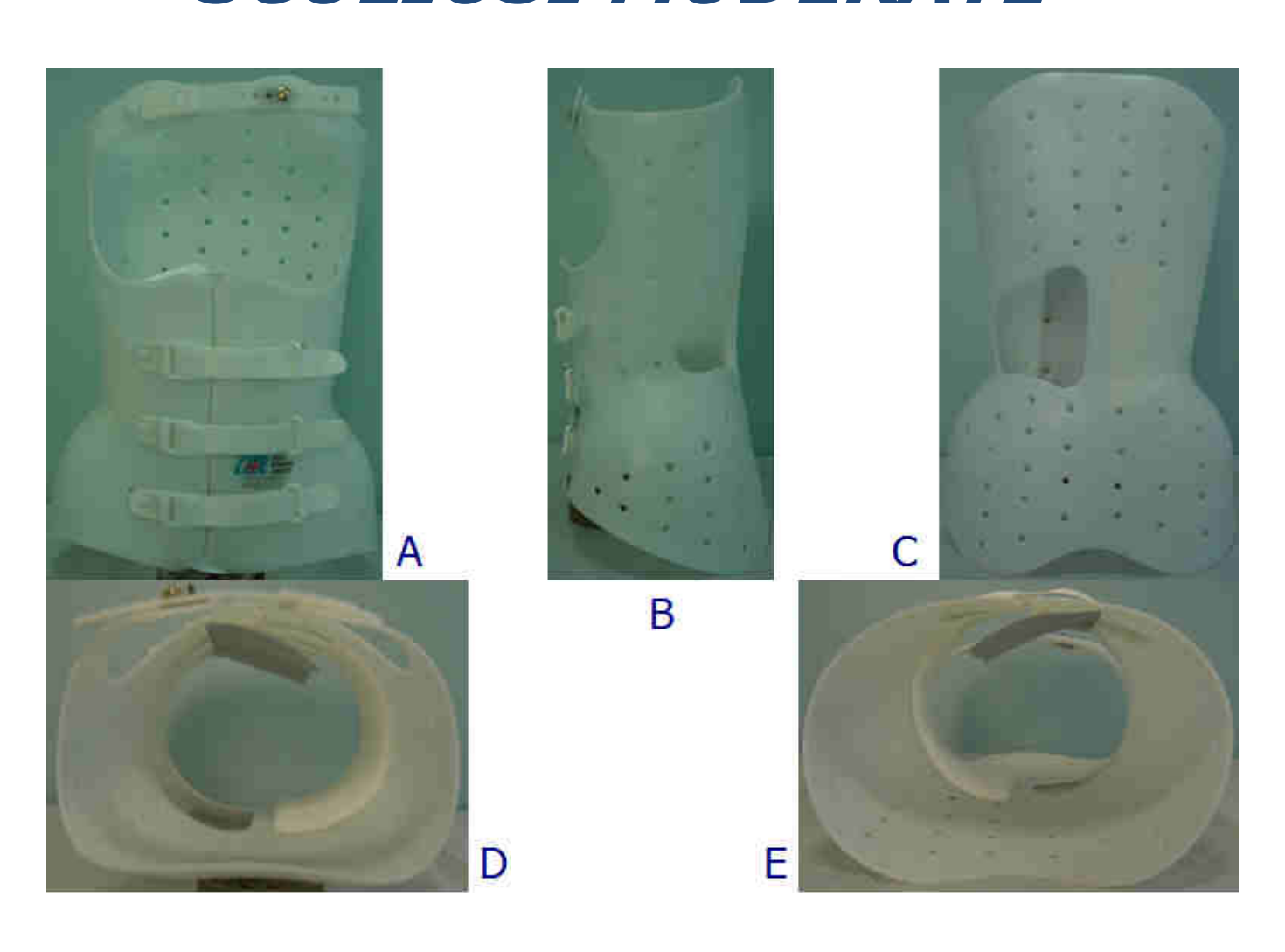


Studio multicentrico su 242 pz (curve tra i 20 e i 40°):

- •116 assegnati random al gruppo trattato o all'osservazione
- •126 hanno scelto il trattamento o l'osservazione
- •Il 68% trattati con corsetto Boston
- Tempo di indossamento misurato con "StowAway"
- •75% successo nei pz trattati (non progressione della curva oltre 50° a fine crescita); 40% nei pz solo osservati
- •Studio interrotto pretermine per evidenza di efficacia
- Efficacia legata alle ore di indossamento

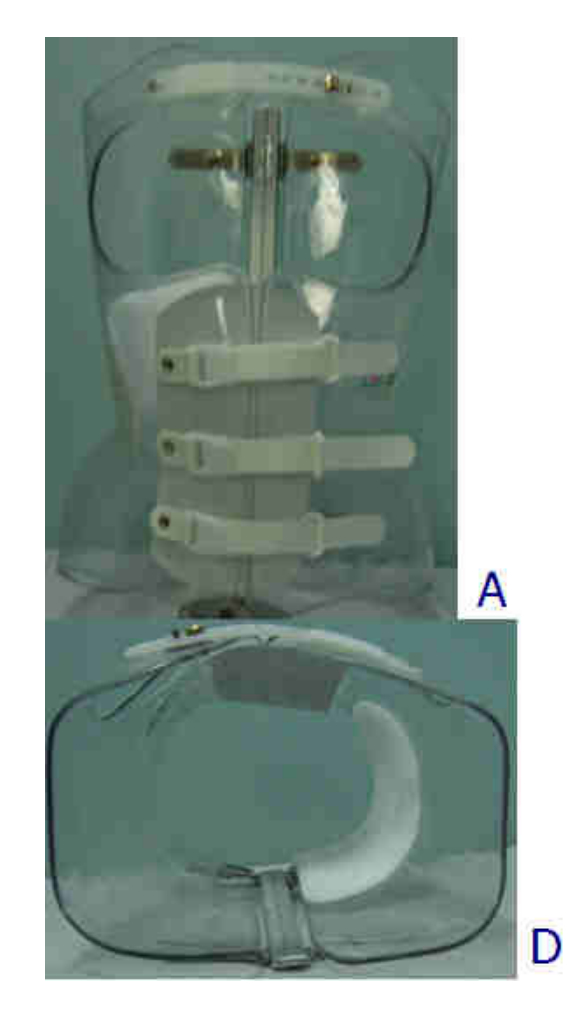


TERAPIA SCOLIOSI MODERATE





SCOLIOSI DA MODERATE A GRAVI E GRAVI















CURVA < 30° A FINE CRESCITA

Il rischio di progressione in ETA' ADULTA inizia ad aumentare quando la curva supera i 30°



EQUILIBRIO SAGITTALE GLOBALE



C'ERA UNA VOLTA..... VISIONE "STATICA" del PIANO SAGITTALE

1. CURVA SACRALE
a concavità anteriore

2. LORDOSI LOMBARE

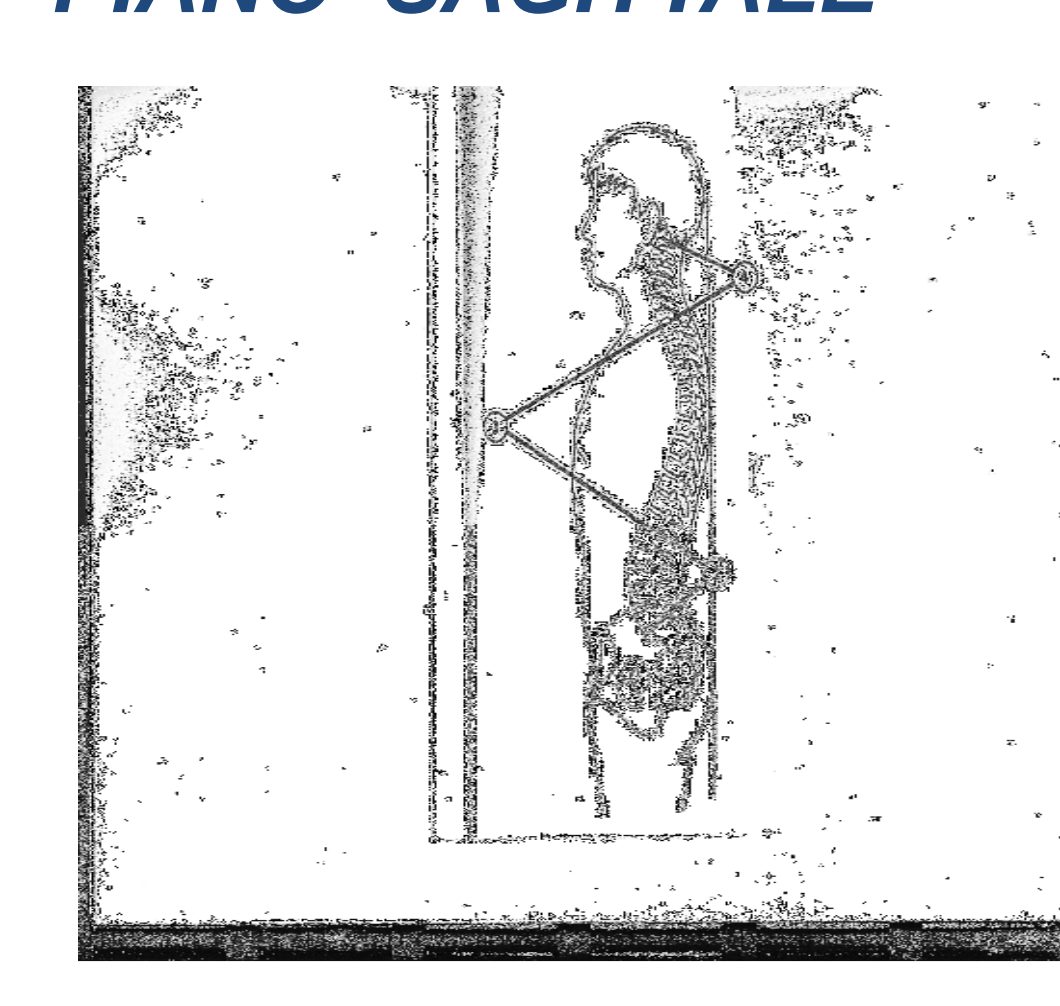
a concavità posteriore

3.CIFOSI DORSALE

a convessità posteriore

4.LORDOSI CERVICALE

a concavità posteriore

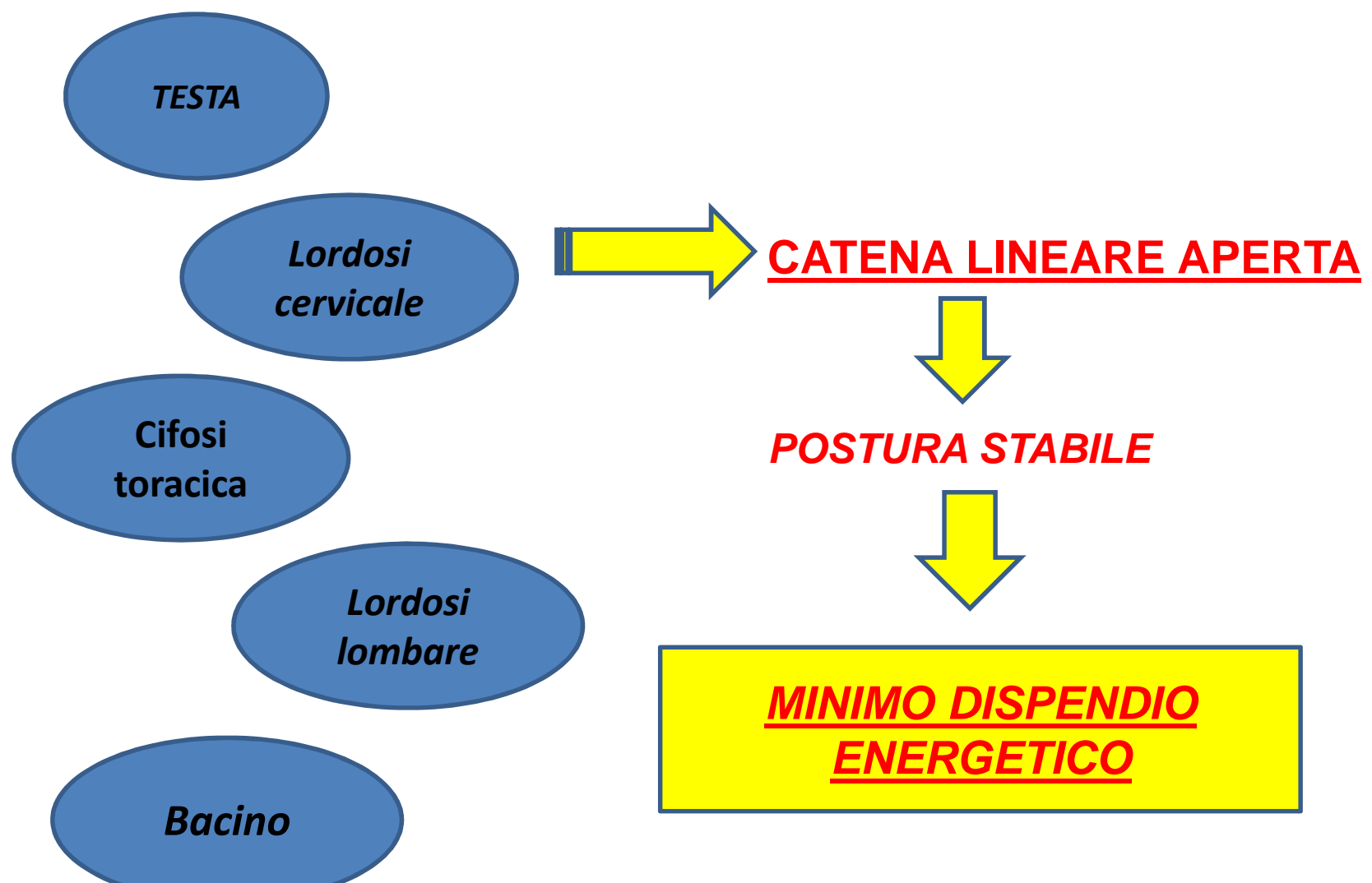




EQUILIBRIO SAGITTALE GLOBALE



VISIONE "DINAMICA" del PIANO SAGITTALE

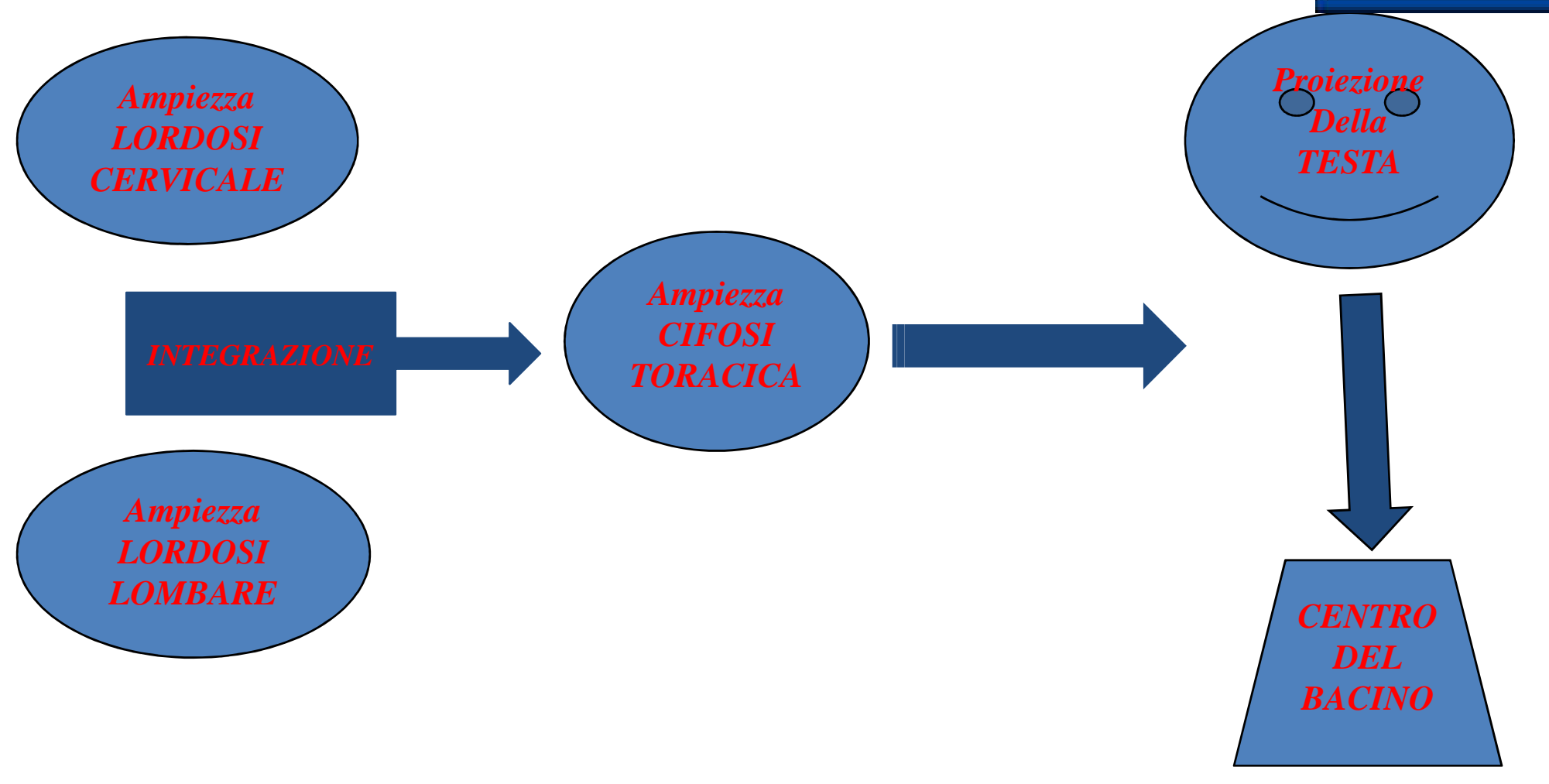


E.Berthounnaud et al., J Spinal Disord Tech 2005



EQUILIBRIO SAGITTALE GLOBALE

VISIONE "DINAMICA" del PIANO SAGITTALE





CLASSIFICAZIONE DI ROUSSOULY

TIPO 1: SS<35°

Lordosi corta ed ipercifosi lunga

TIPO 2: SS< 35°

Ipocifosi ed Ipolordosi

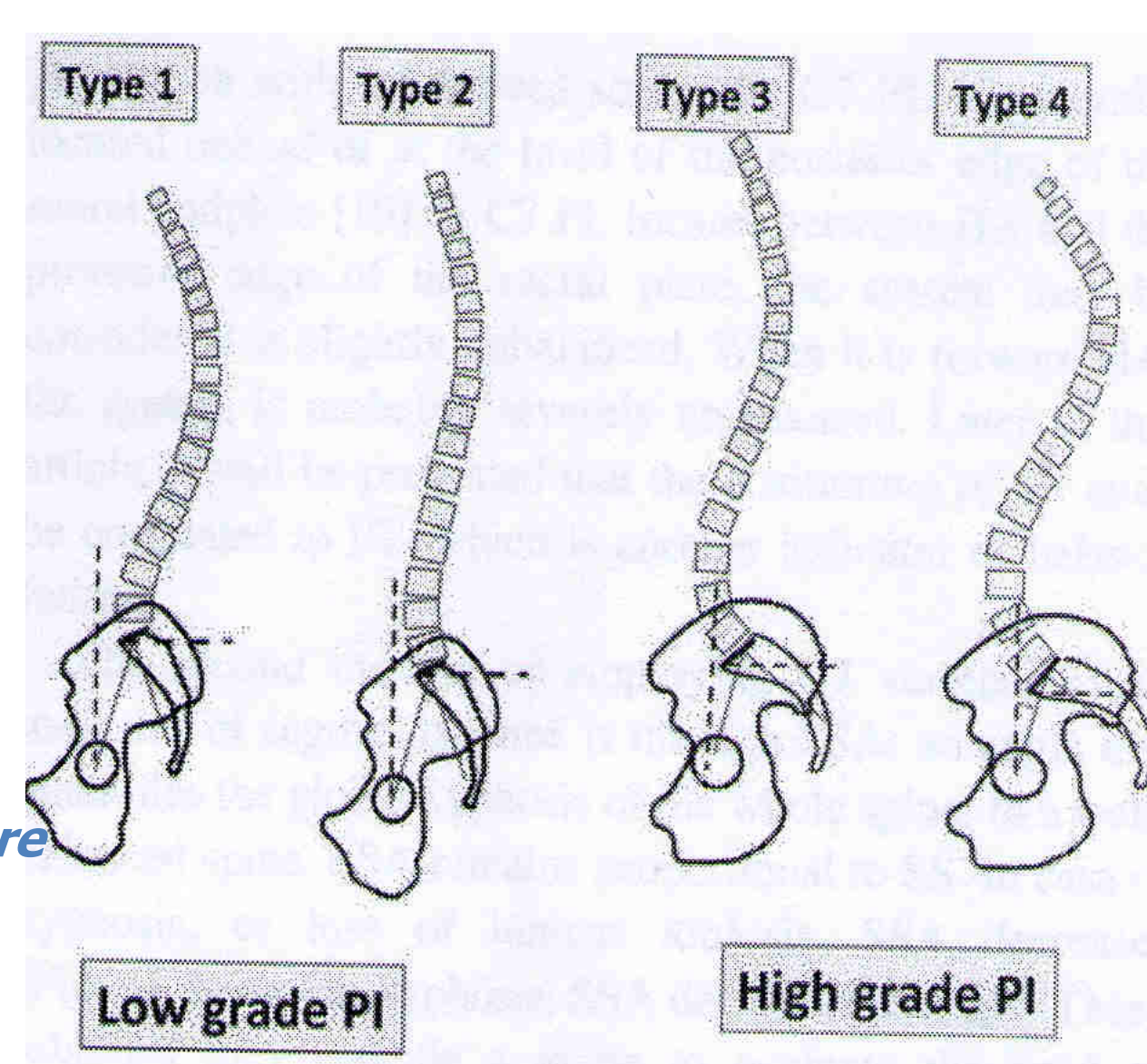
TIPO 3: 35°<SS< 45°

Punto di flesso alla giunzione DL

Rachide bilanciato

TIPO 4: SS>45°

Lordosi prominente con >5 vertebre





CLASSIFICAZIONE DISEQUILIBRIO SAGITTALE ISICO

• IPERCIFOSI DORSALE: solo vertebre dorsali

• CIFOSI LUNGA: fino alle prime vertebre lombari, ma rachide armonico

- IPERCIFOSI LUNGA: fino alle prime vertebre lombari, ma cifosi più accentuata
- CIFOSI GIUNZIONALE DL: fino alle prime vertebre lombari, ma rachide disarmonico (ad es.: dorso piatto)



CLASSIFICAZIONE DISEQUILIBRIO SAGITTALE ISICO

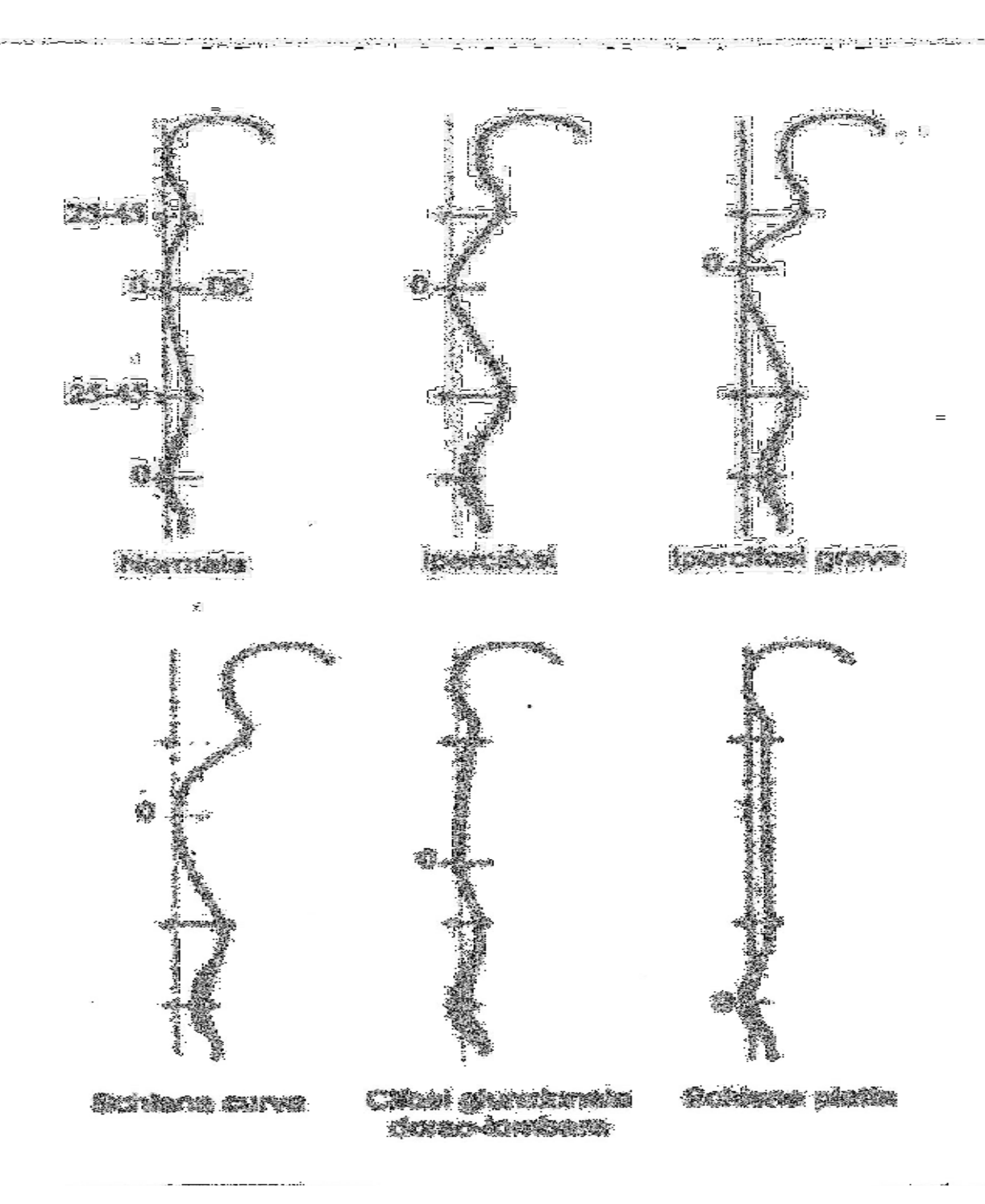
- CIFOSI DORSALE ALTA: pendenza prossimale della cifosi più accentuata
- IPERLORDOSI
- DORSO PIATTO
- INVERSIONE COMPLETA DELLE CURVE SAGITTALI
- DORSO CAVO
- CIFOSI LOMBARE



HYPERKYPHOSIS: Acquired forms

Idiopathic hyperkyphosis

Scheuermann's kyphosis







HYPERKYPHOSIS ACCORDING TO SRS CRITERIA



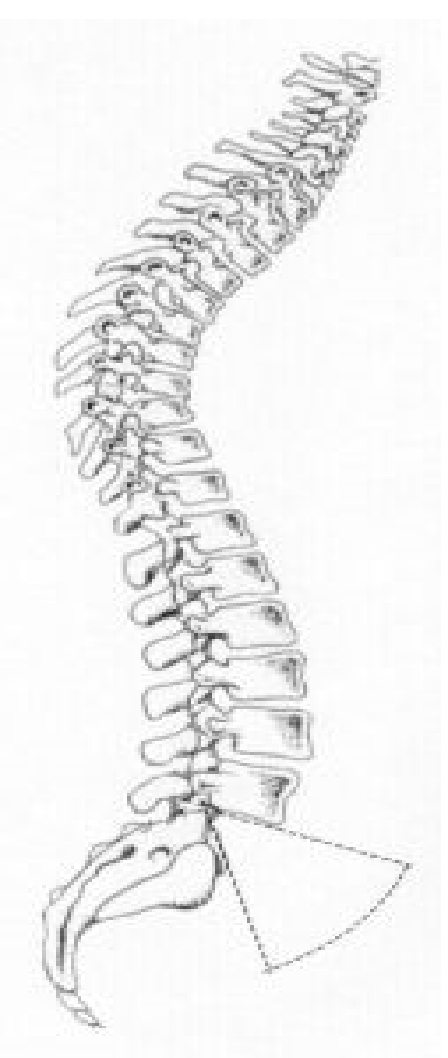
THORACIC KYPHOSIS

cording to COBB DEGREES in LL Rx ———— GOLD STANDARD)

20° < NORMAL RANGE < 40°

Tribus CB.J Am Acad Orthop Surg, 1998
Wenger DR. In the art and practice of Children's Orthopaedics,1993
Lowe TG. J Bone Joint Surgery[Am],1990





HYPERKYPHOSIS

WHEN



THORACIC KYPHOSIS > 45°

UPPER LIMIT IN A STUDY OF 316 HEALTHY SUBJECTS

Fon GT, Pitt MJ, Thies ACJ. AJR Am J Roentgenol, 1980





EPIDEMIOLOGY

There's **NO CERTAIN DATA** about

PREVALENCE and INCIDENCE

during *childhood*.

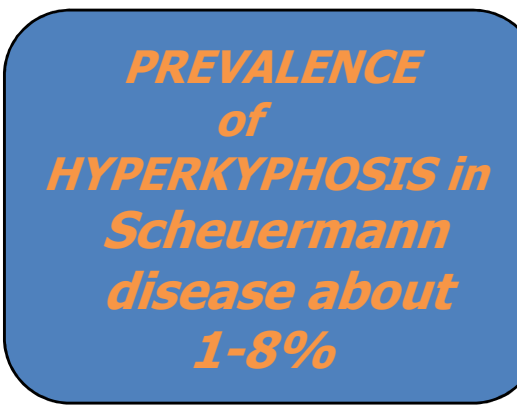
Wengerr DR, Frick SL. Spine, 1999





EPIDEMIOLOGY

Just two data



PREVALENCE

changes during growth being *higher in adolescence* than in childhood

Wenger DR, Frick SL. Spine, 1999





ACCORDING TO

SRS CLASSIFICATION:

1) CONGENITAL FORM rare

2) ACQUIRED FORM more frequent



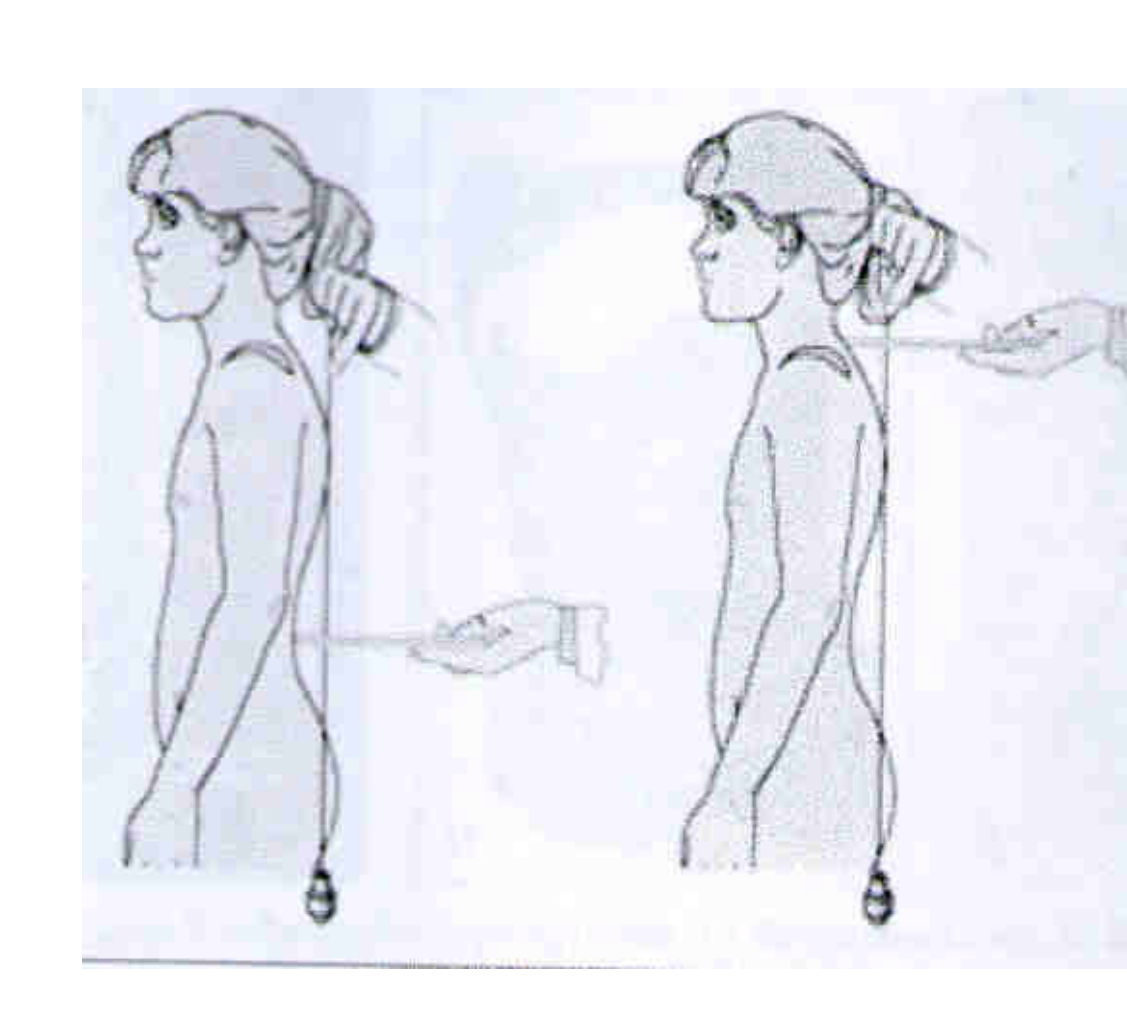
DIAGNOSI CLINICA

CLINICAL TOOLS:

Plumbline distance at C7

Plumbline distance at L3

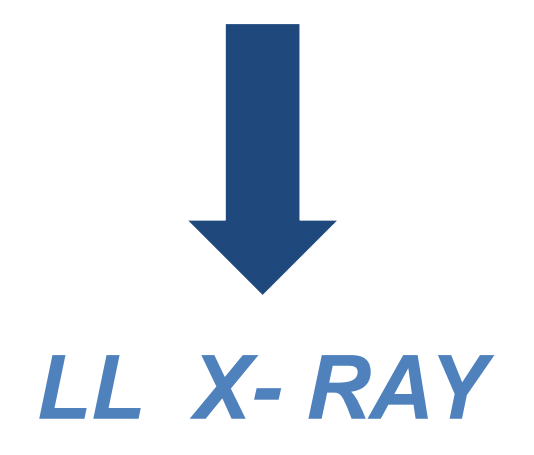
Sagittal index (C7+L3)

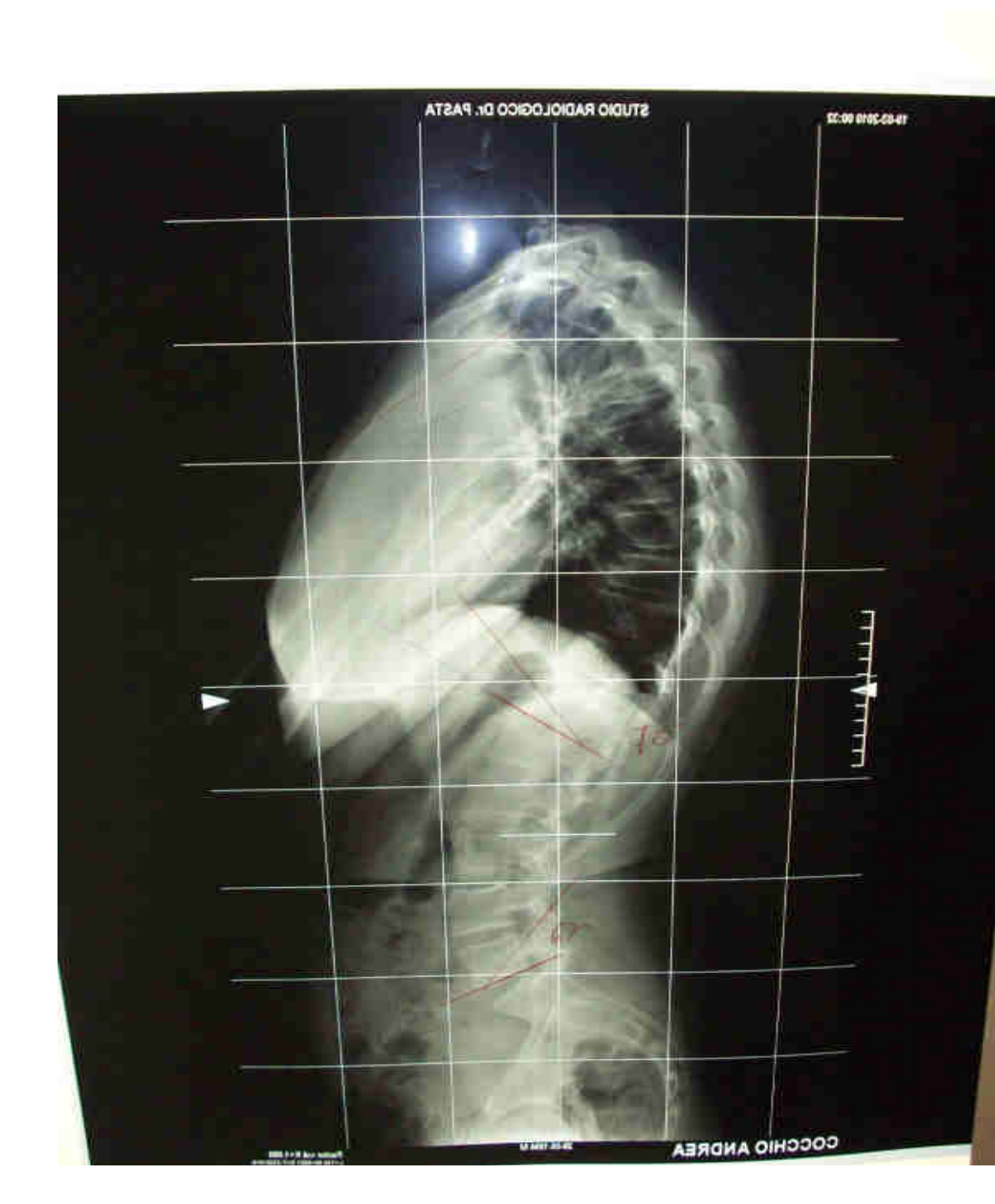




DIAGNOSI STRUMENTALE

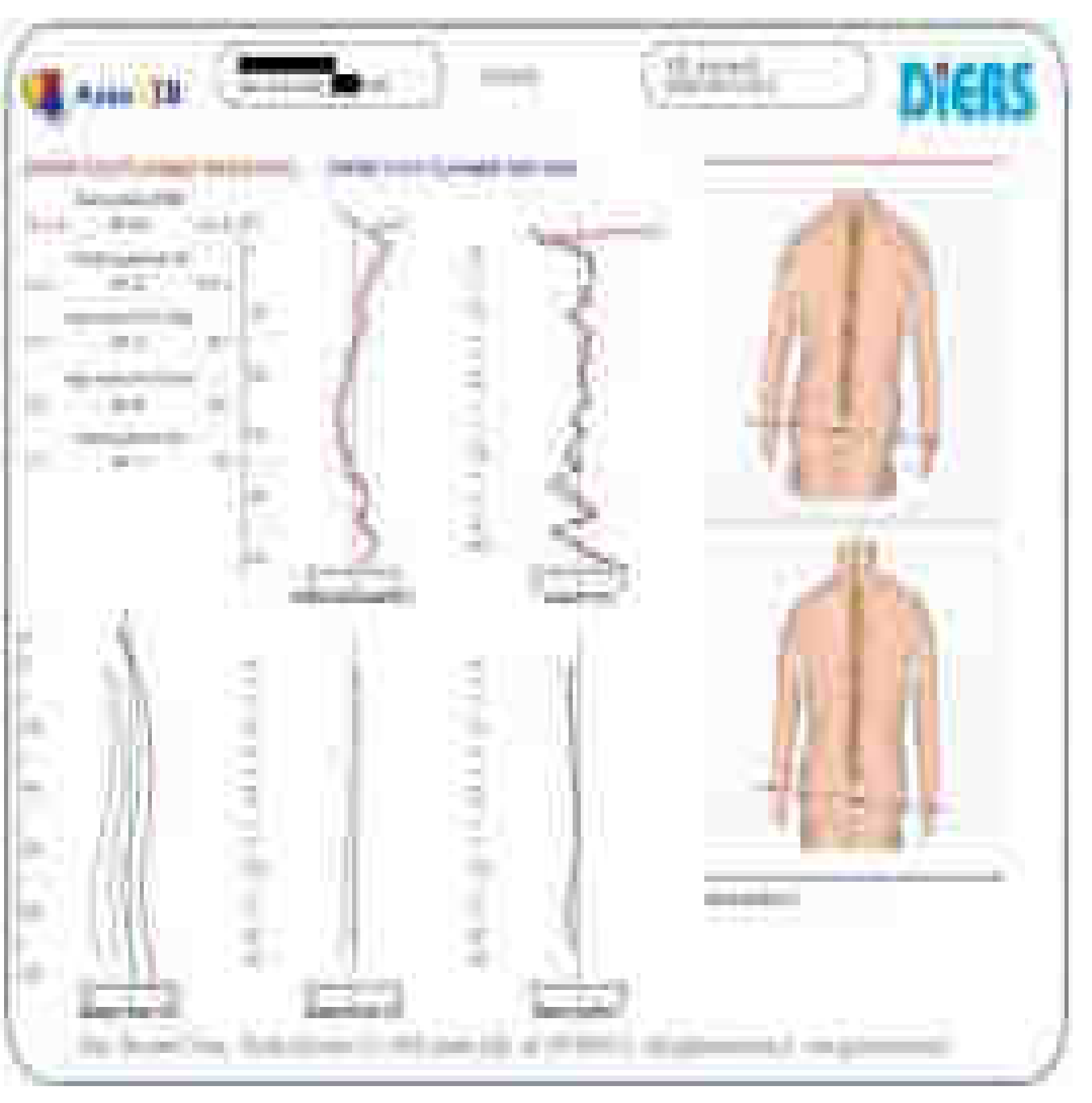
GOLD STANDARD







VALUTAZIONE STRUMENTALE



FORMETRIC

- Differenza tra tracciato base ed autocorrezione
- Angoli
- Percentuale del punto di flessione



SPECIFIC EXERCISES for HYPERKYPHOSIS

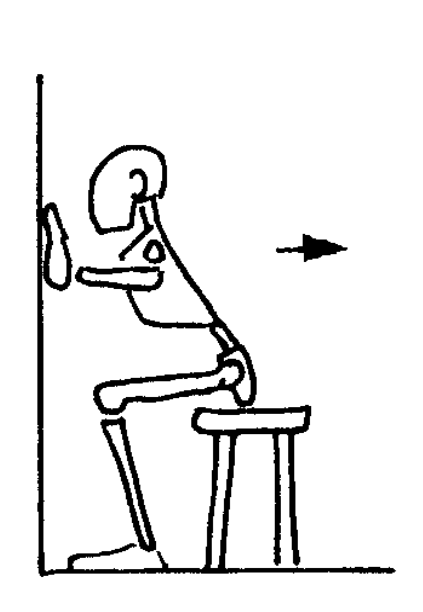
- Mobilization
- Elongation
- Extension

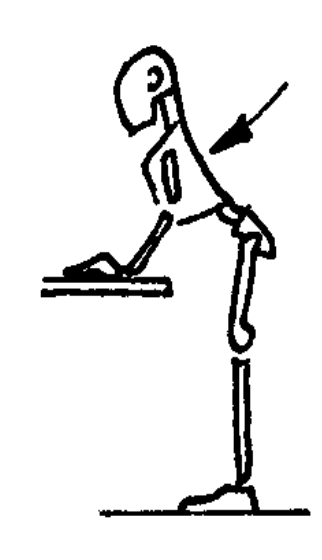
of Thoracic spine

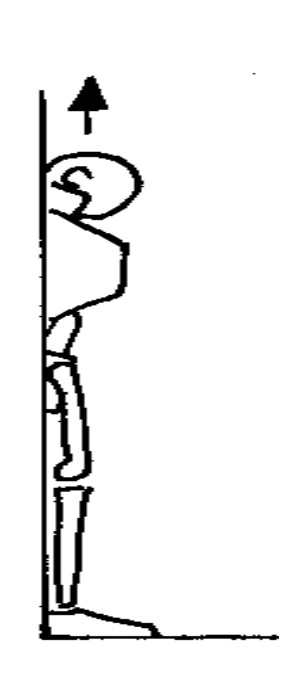
with gradually increasing complexity

(SEAS Approach)







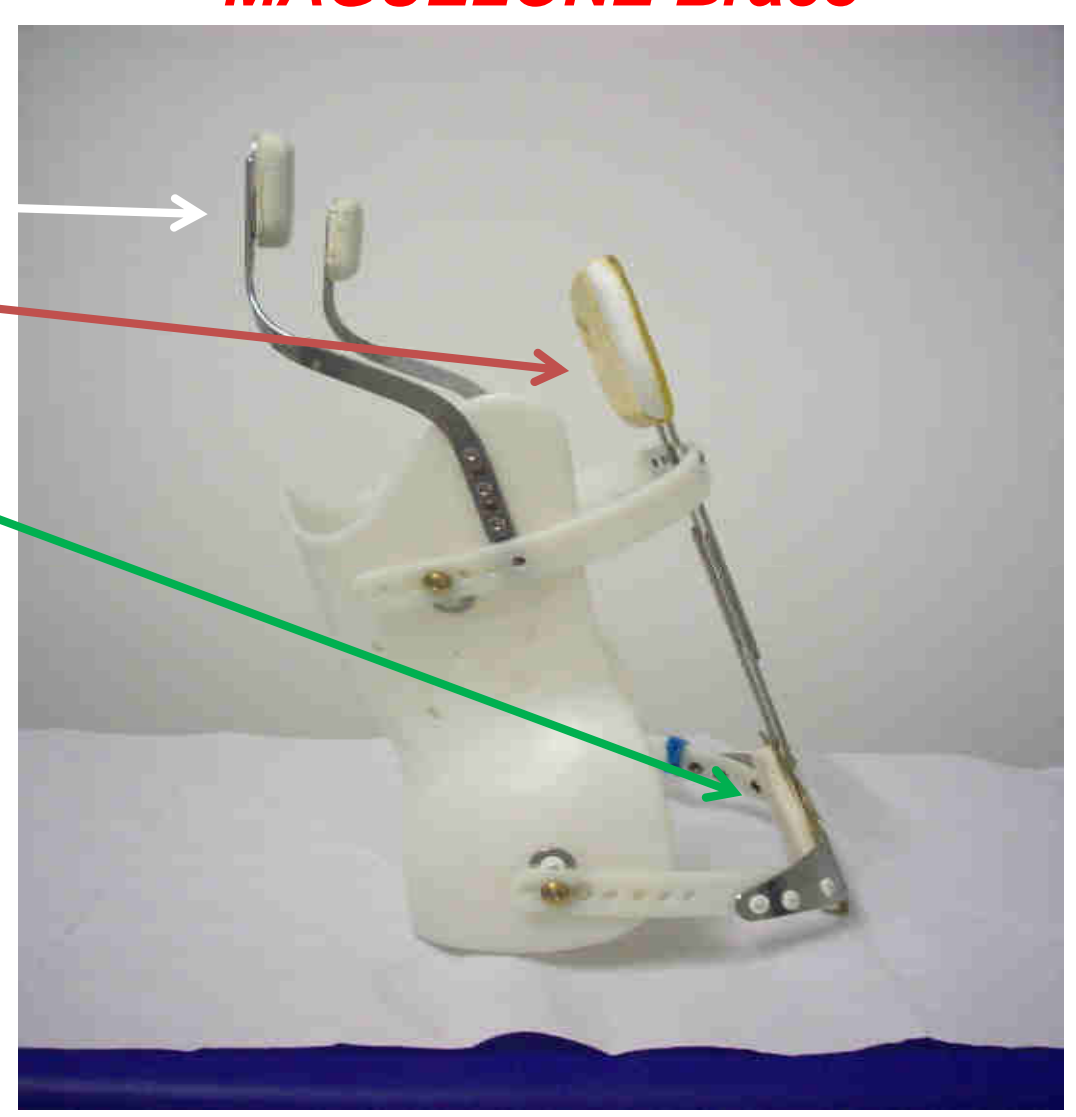




MAGUELONE Brace

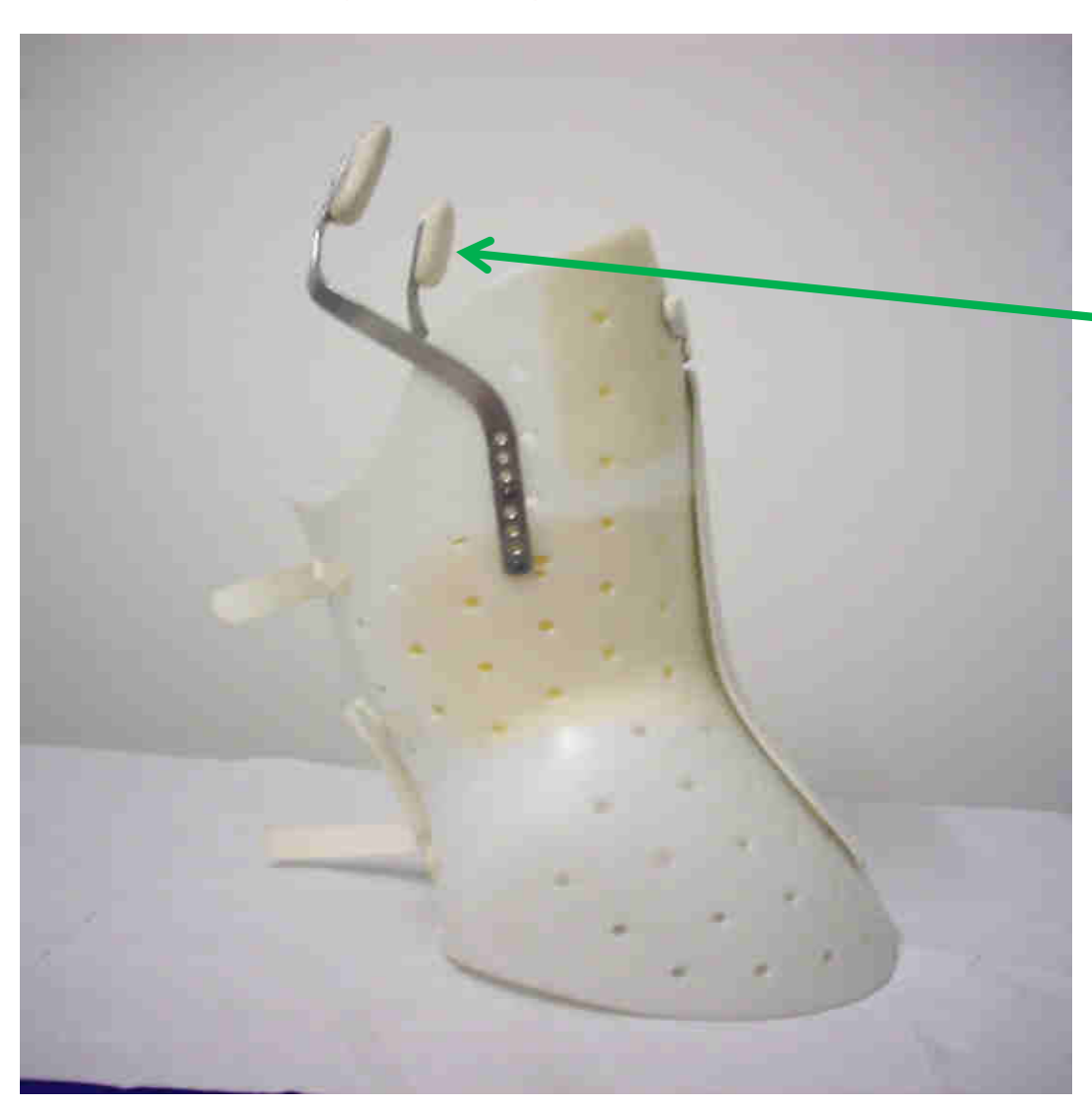
IT's a 3 POINTS BRACE

- Acromial
- Thoracic
 - Sacral -





LAPADULA -SIBILLA Brace



IT'S a TLSO BRACE with

Acromial pressures





TAKE HOME MESSAGE





TAKE HOME MESSAGE



•L'ipercifosi toracica è solo uno degli aspetti dell'equilibrio sagittale globale per la cui corretta valutazione risultano sempre più importanti i parametri spinopelvici angolari (SSA, TPA)

"Quelli che ballavano erano visti come pazzi...da quelli che non sentivano la musica..." F. Nietzche

Thank you

Salvatore Minnella

salvatore.minnella@isico.it



www.isico.it